



## บทที่ 3

## วิจารณ์และสรุปผลการทดลอง

นำสารเดาดินแห้งบดละเอียด 50 กรัม มาแช่ในเอทานอล 3 วัน กรองเอาสิ่งที่ละลายได้ในเอทานอล ทิ้งไว้ ฯ จนสารละลายไม่มีสีแล้ว เอาสารละลายที่กรองได้ไปกลั่นด้วยเครื่องกลั่นลดความดัน จะได้สิ่งสกัดในเอทานอลแล้ว นำทดสอบประเภทของสารเคมีเบื้องต้น

จากการทดสอบเบื้องต้นเพื่อหาอัลคาโลย์ด, การดิแอกไกโอลโคไซด์ พลาโนนอยด์, ชาโภนิน และคูมาarin ในสารเดาดิน ปราการผลตั้งตารางที่ 4-8 แสดงว่ามีสารพาก deoxy sugar และมี triterpenoid หรือ steroid และอาจมีชาโภนิน นอกนั้นไม่พบ

เมื่อนำสารเดาดินที่ตากแห้งบดละเอียดแล้ว 1.8 กิโลกรัม มาสกัดด้วยเอทานอล จะได้สิ่งสกัดในเอทานอล 210 กรัม เมื่อนำสิ่งสกัดในเอทานอลไปกรองด้วยสารละลายเซกเช่น คลอโรฟอร์ม อะซีโตน 95% เอทานอล น้ำ เรียงลำดับตาม polarity จะได้สิ่งสกัดในเซกเช่น 34 g สิ่งสกัดในคลอโรฟอร์ม 133.34 g สิ่งสกัดในอะซีโตน 3.33 g สิ่งสกัดใน 95% เอทานอล 10 g สิ่งสกัดในน้ำ 25 g

1. การแยกสาร ในส่วนสกัดด้วยเซกเช่นโดยใช้クロลามน์โครมาโทกราฟี ให้สาร 10 ชนิด คือ สาร 1-3 ช มีจุดหลอมเหลว 66-68°C จำนวน 1.2 กรัม สาร 20 ช มีจุดหลอมเหลว 166-168°C จำนวน 1 กรัม สาร 40 ช มีจุดหลอมเหลว 295-302°C จำนวน 0.8 กรัม และสารอื่น ๆ อีกเล็กน้อย จากการตรวจลักษณะของสารโดยอาศัยคุณสมบัติทางกายภาพ ปฏิกิริยาเคมีและหลักฐานทางสเปกตรโคลป์ทำให้สามารถสรุปได้ดังนี้

สาร 1-3 ช เป็นผลึกสีขาว มีลักษณะเป็นแผ่น มีจุดหลอมเหลว 66-68°C

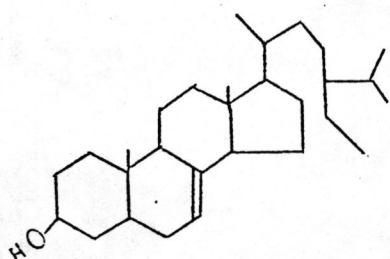
จากการวิเคราะห์ทางสูตรโครงสร้างตามวิธีในหัวข้อ 2.7 พบว่าสาร 1-3 ช เป็นของผสม long chain saturated hydrocarbon 10 ชนิด ซึ่งมีน้ำหนักโมเลกุล 352, 366, 380, 394, 408, 422, 436, 450, 464, 428 ซึ่งมีสูตรเป็น  $C_{25}H_{52}$ ,  $C_{26}H_{54}$ ,  $C_{27}H_{56}$ ,  $C_{28}H_{58}$ ,  $C_{29}H_{60}$ ,  $C_{30}H_{62}$ ,  $C_{31}H_{64}$ ,  $C_{32}H_{66}$ ,  $C_{33}H_{68}$ ,  $C_{34}H_{70}$  ซึ่งจาก IR (รูปที่ 8) แสดง C-H stretching mode ของ  $-CH_3$  และ  $-CH_2-$  ที่ 2.860; 2920  $\text{cm}^{-1}$ , C-H bending mode ของ  $CH_3-$ ,  $-CH_2-$  ที่ 1,470, 1375  $\text{cm}^{-1}$ ,

C-H rocking mode ของ  $-\text{CH}_2-$  หรือ  $-(\text{CH}_2)_n-$  ที่  $730, 720 \text{ cm}^{-1}$  ของ long chain hydrocarbon และไม่มี unsaturation และจากการวิเคราะห์ด้วยเทคนิค Gas chromatography (รูปที่ 10-12) โดยเปรียบเทียบค่า retention time กับสารมาตรฐาน long chain saturated hydrocarbon พูดว่าสาร 1-3x ประกอบด้วย saturated long chain hydrocarbon ที่มีจำนวน carbons ตั้งแต่  $\text{C}_{25}-\text{C}_{34}$  จึงสรุปว่าสาร 1-3x เป็นของผงสมชอง long chain saturated hydrocarbon ที่มีสูตรโมเลกุล

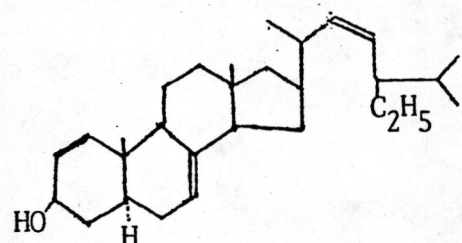
$\text{C}_{25}\text{H}_{52}$	คือ pentacosane	มีสูตรโครงสร้างเป็น $\text{CH}_3-(\text{CH}_2)_{23}-\text{CH}_3$
$\text{C}_{26}\text{H}_{54}$	คือ hexacosane	มีสูตรโครงสร้างเป็น $\text{CH}_3-(\text{CH}_2)_{24}-\text{CH}_3$
$\text{C}_{27}\text{H}_{56}$	คือ heptacosane	มีสูตรโครงสร้างเป็น $\text{CH}_3-(\text{CH}_2)_{25}-\text{CH}_3$
$\text{C}_{28}\text{H}_{58}$	คือ octacosane	มีสูตรโครงสร้างเป็น $\text{CH}_3-(\text{CH}_2)_{26}-\text{CH}_3$
$\text{C}_{29}\text{H}_{60}$	คือ nonacosane	มีสูตรโครงสร้างเป็น $\text{CH}_3-(\text{CH}_2)_{27}-\text{CH}_3$
$\text{C}_{30}\text{H}_{62}$	คือ triacontane	มีสูตรโครงสร้างเป็น $\text{CH}_3-(\text{CH}_2)_{28}-\text{CH}_3$
$\text{C}_{31}\text{H}_{64}$	คือ hentriacontane	มีสูตรโครงสร้างเป็น $\text{CH}_3-(\text{CH}_2)_{29}-\text{CH}_3$
$\text{C}_{32}\text{H}_{66}$	คือ dotriacontane	มีสูตรโครงสร้างเป็น $\text{CH}_3-(\text{CH}_2)_{30}-\text{CH}_3$
$\text{C}_{33}\text{H}_{68}$	คือ tritriacontane	มีสูตรโครงสร้างเป็น $\text{CH}_3-(\text{CH}_2)_{31}-\text{CH}_3$
$\text{C}_{34}\text{H}_{70}$	คือ tetratriacontane	มีสูตรโครงสร้างเป็น $\text{CH}_3-(\text{CH}_2)_{32}-\text{CH}_3$

โดยมี hentriacontane มากที่สุด รองลงมาคือ tritriacontane, nonacosane, dotriacontane, triacontane, octacosane, heptacosane รองลงมาตามลำดับ ส่วน pentacosane, hexacosane, tetratriacontane มีจำนวนน้อย

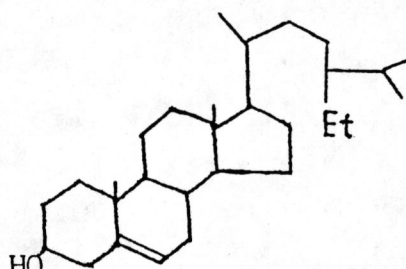
สาร 20 ช. เป็นสารประกอบพหุกลุ่ม เหลว  $166\text{--}168^{\circ}\text{C}$  ให้ผล positive กับ Liebermann Burchard reaction เป็นสีเขียว จากการวิเคราะห์หา สูตรโครงสร้างตามวิธีในหัวข้อ 2.7 พบว่าสาร 20 ช. เป็นสารประกอบพหุกลุ่มซึ่งเมื่อ นำไว้ใน IR จะได้ IR spectrum เมื่อตอน  $\alpha$ -spinasterol จากรูปที่ 14-15 หน้า 78-79 แสดงว่า 20 ช. เป็นสาร  $\alpha$ -spinasterol เพื่อยืนยันให้แน่นอนต้องวิเคราะห์ด้วย MS, IR, GC,  $^{13}\text{C}$  NMR,  $^1\text{H}$  NMR รวมทั้งหา standard ยืนยันเปรียบเทียบ ซึ่งจาก IR spectrum ของ  $\alpha$ -spinasterol คล้ายคลึงกับ  $\beta$ -sitosterol และ stigmasterol โดยที่  $\alpha$ -spinasterol จะเป็น isomer กับ stigmasterol และ ในธรรมชาติมักพบว่ามี  $\Delta^7$ -stigmastenol เป็นอยู่ด้วยเสมอ ถ้ารูปความคล้ายคลึงกันจะเห็นว่าคล้ายคลึงกันมาก



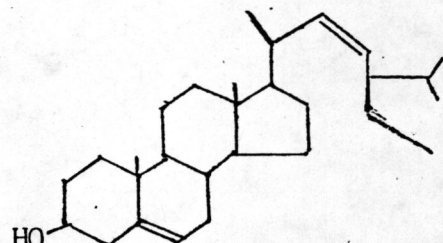
$\Delta^7$ -Stigmastenol



$\alpha$ -spinasterol



$\beta$ -sitosterol



Stigmasterol

จาก IR spectrum ลักษณะเฉพาะดัวที่ทำให้  $\alpha$ -spinasterol ต่างจาก stigmasterol และ  $\beta$ -sitosterol คือมีช่วง out of plane bending ของ carbonที่มีพันธะคู่ ( $1107; 973 \text{ cm}^{-1}$ ) และมี doublet ที่  $850, 830$  นอกนั้นก็คล้ายกันคือมี

ดูจาก O-H stretching ที่  $3,440 \text{ cm}^{-1}$  มี C-O stretching vibration ของ  $3\beta\text{-OH}$  ที่  $1,050$  และ  $1,020 \text{ cm}^{-1}$  และ C-H stretching ที่  $2950$ ,  $2870 \text{ cm}^{-1}$  และมี C=C stretching ที่  $1,640 \text{ cm}^{-1}$  และที่  $1,450$ ,  $1385 \text{ cm}^{-1}$  เป็น C-H bending ของ  $\text{CH}_2, \text{CH}_3$  แต่ที่มาเป็น  $\beta$ -sitosterol จะแสดง out of plane = C-H bending ของการบอนที่เป็นพันธะคู่ เป็น singlet ที่  $969 \text{ cm}^{-1}$  ส่วน stigmasterol จะเป็น doublet ที่  $969-980 \text{ cm}^{-1}$  ซึ่งยืนยันได้ว่าไม่ใช่ stigmasterol และ  $\beta$ -sitosterol ซึ่งน่าจะเป็น  $\alpha$ -spinasterol เพราะเหมือนกับ standard

จาก Mass spectrum พู  $M^+ = 412$ ,  $414$  ซึ่งแสดงว่ามี  $\alpha$ -spinasterol ซึ่งมี M.W. เป็น  $412$  และ  $\Delta^7$  stigmasterol มี M.W.  $414$

จึงนำไปวิเคราะห์ด้วย G.C. พว G.C. spectrum และความสูง 20 ช 3 ตัว เมื่อเทียบกับ standard คือ stigmasterol,  $\Delta^7$  stigmasterol และ  $\alpha$ -spinasterol โดยมี  $\alpha$ -spinasterol มากที่สุด 2 ตัว ที่เหลือมีน้อยมาก

เมื่อศึกษาเปรียบเทียบโดยดูจาก  $^1\text{H}$  NMR spectrum พวว่ามี double bond เท่านั้นของ  $\alpha$ -spinasterol ที่  $5.157$ ,  $5.092$ ,  $5.032 \text{ ppm}$  เหมือนกับ standard  $\alpha$ -spinasterol และยังแสดงว่าเป็นพวง steroid จาก  $0.038-1.613 \text{ ppm}$  ซึ่งเป็นลักษณะเฉพาะของพวง steroid และ triterpenoid ซึ่งไม่ใช่ triterpenoid เพราะทดสอบ กับ Liebermann-Burchard reaction แล้วได้เสื้อเขียว ดังนั้น จาก  $^1\text{H}$  NMR จะช่วยยืนยันว่าเป็น steroid ที่มี double bond อย่างน้อย 2 คู่ มีหมู่ OH อย่างน้อย 1 หมู่ เมื่อนำ 20 ชิ้นไปวิเคราะห์  $^{13}\text{C}$  NMR พวว่าให้สัญญาณ  $^{13}\text{C}$  NMR spectrum อย่างน้อย 29 carbons แสดงพันธะคู่ที่  $139.55$ ,  $138.199$ ,  $129.477$ ,  $117.504 \text{ ppm}$  ซึ่งใหญ่ จาก off resonance จะทราบได้ โดยจะเป็น doublet ของ  $=\text{CH}-$  ที่ 3 ตัวหลัง แต่เป็น 1 singlet ของ  $=\text{C}$  ที่  $139.53$  และจาก chemical shifts  $c$ ,  $\text{CH}_1, \text{CH}_2$ ,  $\text{CH}_3$  ที่  $12.08-55.908 \text{ ppm}$  นับได้ 24 paks และแสดงว่า 20 ชิ้น เป็น steroid. เพียงชนิดเดียว จึงเห็นค่า  $12.08-55.908 \text{ ppm}$  เป็น 24 peak และ peak ที่เหลือคือทรงคาร์บอนที่ 3 มีหมู่ OH มาต่อทรง  $70.968 \text{ ppm}$  อีก 4 peak ก็เป็น 29 peak ก็คือ C ของพันธะคู่ 4 peak รวมกันได้ 29 peak พอดีสอดคล้องกับที่เราคาดเอาไว้ โดยลักษณะ stigmasterol และ  $\Delta^7$  stigmasterol จะไม่ปรากฏ เพราะเป็น trace ไม่เลกุลของสารแม้ใน GC spectrum ก็มี peak เท่านั้นเพียงน้อยกว่าทั้ง Mass spectrum ด้วย

สรุป 20x เป็น  $\alpha$ -spinasterol แผ่นอน และมี trace stigmasterol และ trace  $\Delta^7$ -stigmastenol ซึ่งทราบได้จาก Mass spectrum และ GC spectrum

สาร 40x คาดว่าเป็นตัวเดียวกัน 19 g. เนื่องจาก IR spectrum เมื่อถูกเผา การแยกสารในสิ่งสักดิวยคลอโรฟอร์มโดยใช้คอลัมน์โปรแกรมไฟฟ้าได้ผลตั้งตาราง ปรากฏว่าได้สาร 7 ตัว และ NaCl ซึ่งเป็นเกลือแร่ที่สำคัญ

สาร 19 g. triterpenoid compound มีคุณสมบัติที่  $> 310$  และลักษณะเป็นผลึกรูปเข็ม 500 mg สีขาวให้ผลกับ Liebermann Burchard reaction เป็นสีม่วงแดง แสดงว่าเป็น triterpenoid อย่างแน่นอน สาร 19 g มีผลวิเคราะห์ธาตุครั้งที่ 1 พบว่า C=76.56%, H=10.47% สำหรับโมเลกุลเป็น  $C_{32}H_{52}O_4$  จะคำนวณได้ C=76.8 %, H=10.4% แสดงว่า triterpenoid compound มีสูตรโมเลกุล  $C_{32}H_{52}O_4$  M.W. 500 จาก IR spectrum สาร 19 g มี broad absorption ที่  $3500-3410 \text{ cm}^{-1}$  แสดงถึงมีหมู่ OH และแสดงถึงมี C-H stretching ของ  $CH_2, CH_3$  ของ  $2970-2940 \text{ cm}^{-1}$  และช่วง  $1695 \text{ cm}^{-1}$  แสดงถึงหมู่  $\overset{\text{O}}{\underset{\text{C}}{\text{C}}}$  ของ ketone นอกจากนี้ C-O stretching vibration อยู่ที่  $1010, 1050 \text{ cm}^{-1}$  และแสดง medium absorption band ที่  $1415, 1385 \text{ cm}^{-1}$

แสดงว่าสาร 19 g จะมีหมู่  $\overset{\text{O}}{\underset{\text{C}}{\text{C}}}$  ของ ketone อยู่ และมีหมู่ OH เป็น triterpenoid ที่มีสูตร  $C_{32}H_{52}O_4$  ตั้งรูปที่ 25 หน้า 89

จาก Mass spectrum สาร 19 g มี m/e สูงสุดเป็น 411 โดยได้จาก m/e 454 lose m/e = 43 คาดว่าคือ  $\overset{\text{O}}{\underset{\text{C}}{\text{C}}}-\text{CH}_3$  แสดงว่าสาร 19 g มีหมู่  $\overset{\text{O}}{\underset{\text{C}}{\text{C}}}-\text{CH}_3$  ต่อกันซึ่งของพาก triterpenoid และจาก m/e = 411 lose  $H_2O(18)$  จะได้ m/e = 393 เพราะฉะนั้นยืนยันว่ามีหมู่ OH อย่างน้อย 1 หมู่ m/e ที่สำคัญมี 454, 411, 393, 205, 135, 107, 109, 43 ตั้งรูปที่ 26 หน้า 90

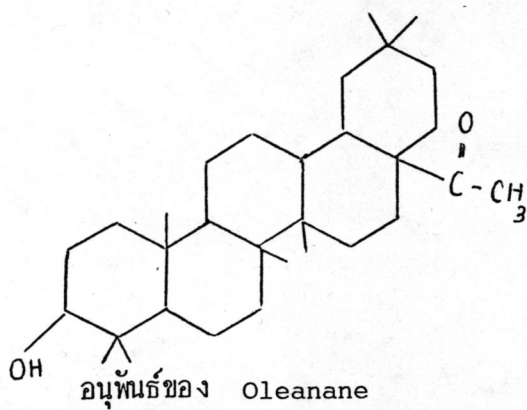
จากข้อมูลของ Mass spectrum สาร 19 g เป็น triterpenoid compound ที่มีหมู่  $\overset{\text{O}}{\underset{\text{C}}{\text{C}}}-\text{CH}_3$  และมีหมู่ OH อย่างน้อย 1 หมู่ โดยถูกจากการ fragment

$^1\text{H}$  NMR spectrum (TMS) ของสาร 19 g แสดง peak สำคัญคือ broad ที่  $6.031-2.17 \text{ ppm}$  ซึ่งเป็นลักษณะเฉพาะของพาก steroids หรือ triterpenoid compound จาก  $\text{CH}_3, \text{CH}_2, \text{CH}$  เราทราบว่าสาร 19g เป็น triterpenoid compound

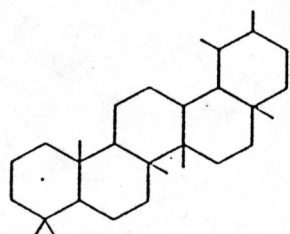
จาก chemical reaction ดังนั้น  $^1\text{H}$  NMR ก็เท่ากับยืนยันว่าเป็น triterpenoid compound จริงจาก broad multiplet  $\delta 0.31-2.17\text{ ppm}$  และแสดงที่มี OH จาก  $\delta 3.87\text{ ppm}$

จากข้อมูลหั้งหมกสาร 19 $\text{g}$  เป็น triterpenoid compound ที่มีสูตรโมเลกุล  $\text{C}_{32}\text{H}_{52}\text{O}_4$  M.W. = 500 โดย  $\text{M}^+$  ไม่มีปรากฏใน Mass spectrum

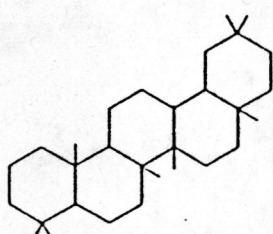
มีหมู่สำคัญ  $\text{C}-\text{CH}_3$ , OH ซึ่งยังบอกโครงสร้างที่แน่นอนไม่ได้ต้อง ไป run x-ray ถูโครงสร้างสาร 19 $\text{g}$  แล้วจึงค่อยทำเครื่ยมอนุพันธ์ และ  $^{13}\text{C}$  NMR ยืนยันอีกว่า triterpenoid นี้มาจาก isoprene unit ซึ่งมี 2 กลุ่มใหญ่ ๆ คือ 1 tetracyclic (four rings) 2. pentacyclic (five rings) ซึ่ง pentacyclic สอดคล้องกับสาร 19 $\text{g}$  ซึ่งแบ่งเป็นที่สำคัญคือ ursane และ oleanane ซึ่ง 2 ประเภทนี้มีหมู่มาต่อ ก็จะลายเป็น triterpenoid ตัวอื่น ๆ ดังนั้น สาร 19 $\text{g}$  อาจมีโครงสร้างคล้ายคลึงกับ



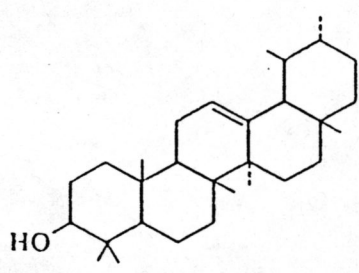
ซึ่งต้องคุณ x-ray จึงจะทราบแน่นอน ซึ่งจากหน้า 57 จะแสดงรูป pentacyclic ของ ursane, oleanane และอนุพันธ์ของมัน



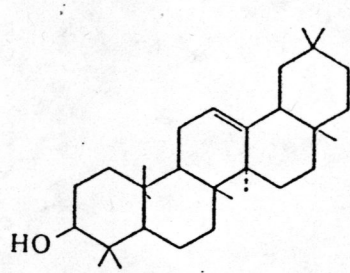
Ursane (180)



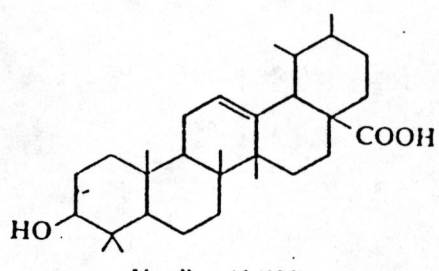
Olcanae (181)



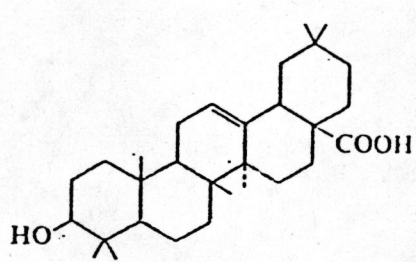
### $\alpha$ -Amyrin (182)



### $\beta$ -Amyrin (183)



### **Ursolic acid (184)**



### Oleanoic acid (185)

๒

ແສກັງ pentacyclic ແອງ ursane, oleanane

๔๖

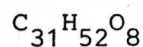
อนุพันธ์ของมัน

สาร 60 g glycoside compound มีจุดหลอมเหลว 276-278 °C น้ำหนัก 80 มิลลิกรัม เมื่อนำไป test liebermann Burchard reaction ให้สีเขียว แสดงว่าอาจเป็นพูน triterpene ประเภทนั้น สาร 60 g เป็นสารที่ได้จาก สิ่งสกัดคลอโรฟอร์มโดยใช้ตัวทำละลาย 5 %, 10 % MeOH-CHCl<sub>3</sub> ตามลำดับ ล้างผลึกด้วย ethyl acetate, MeOH ตามลำดับ เพื่อแยกเอาน้ำมันออกเจิงได้ สาร 60 g ไปตกผลึกใน MeOH : CHCl<sub>3</sub> เป็น 1 : 1 คงผลึกจนได้สารบริสุทธิ์ มีจุดเดียวนะใน TLC ซึ่งใช้ 3 ระบบ เมื่อได้สารบริสุทธิ์แล้วจึงส่งไปวิเคราะห์ด้วย IR จาก IR spectrum พบร้าที่สำคัญคือ board absorption band ของ glycoside linkage ซึ่งแสดงว่ามี ลูวน้ำตาลออยด์ด้วยเห็นได้ชัดเจนและ เมื่อเทียบ standard จะพบว่าเป็น glycoside แทนนอนที่ C-O 1,040 cm<sup>-1</sup> นอกจากนี้มี absorption band ที่สำคัญคือ C-O ที่ 1,700 cm<sup>-1</sup>, 3,300-3,560 cm<sup>-1</sup> เป็นพูน OH gr 2,940 cm<sup>-1</sup> เป็น C-H stretching ตั้งรูปที่ 29 หน้า 94 จาก IR และข้อมูลทั้งหมดสรุปได้ว่าเป็นสารประกอบ glycoside แทนนอนที่มีหมู่ OH และหมู่ C-O ไปเกาออยด์ด้วย จึงนำไปวิเคราะห์ elemental analysis

จากการทดลองวิเคราะห์คุณภาพได้

$$C=67.08\% \quad H=9.47\% \quad O=23.4\%$$

และคำนวณสูตรโมเลกุลได้



ซึ่งจากสูตรโมเลกุลคำนวณได้

$$C=67.39\% \quad H=9.42\% \quad O=23.19\%$$

ดังนั้น glycoside 60 g นี้สูตรโมเลกุล  $C_{31}H_{52}O_8$  จำนวน O<sub>8</sub> สอดคล้อง กับผลที่ได้มาคือเป็น glycoside ต้องมี part น้ำตาลสองอย่างน้อย  $C_6H_{12}O_6$

จะมองมี  $O_6$  ตัว ซึ่งสอดคล้องผล IR กับ elemental analysis

จาก  $^1H$  NMR เมื่อนำสาร 60 g ไปวิเคราะห์พบว่ามี  $\delta$  0.288-2.284 ppm แสดง broad multiplet ของ peak C-H ต่าง ๆ ที่ติดกับ ring หรือ side chain ส่วน C-OH ที่  $\delta$  4.44 ppm และ -C-CH<sub>2</sub>-OH ที่  $\delta$  3.89 ppm และมี หมู่ OH ที่  $\delta$  3.47 ppm และ 62.702 ppm เป็น -C-CH<sub>2</sub>-CO-R ดังรูปหน้า 31, 87

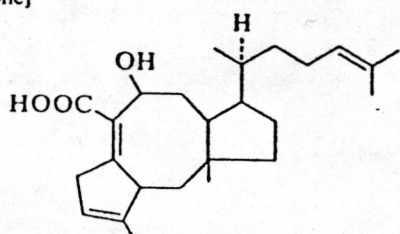
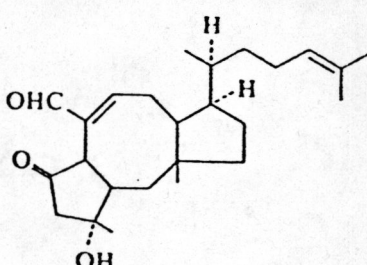
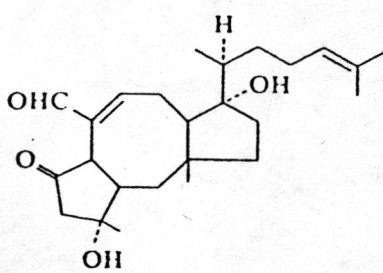
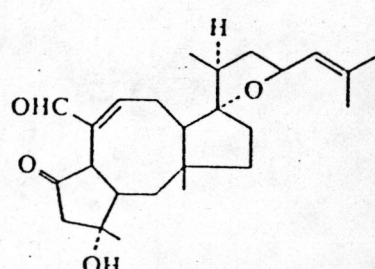
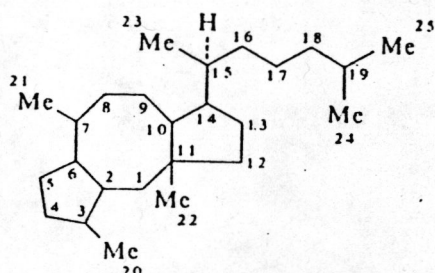
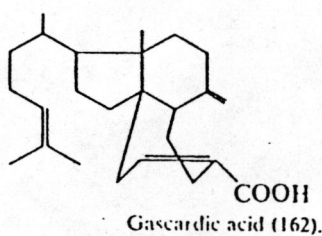
จาก  $^1H$  NMR พบร้า glycoside ที่ได้จะมีน้ำตาลเก้าอยู่ จาก C-OH ที่  $\delta$  4.44 ppm และ -C-CH<sub>2</sub>-OH ที่  $\delta$  3.89 ppm และมีหมู่ OH ที่  $\delta$  3.47 ppm และเมื่อถูก data รวมเท่าที่ทำคาดว่าจะได้ glycoside compound ที่มี ส่วนน้ำตาลโดยส่วน aglycone จะมีลักษณะเป็น ring และมี side chain โดยคุณจาก  $\delta$  0.288-2.284 ppm ของ  $^1H$  NMR เนื่องจากคุณแล้วจาก Liebermann-Burchard ให้ผลไม่เป็นตัว steriod และ triterpenoid ดังนั้น  $^1H$  NMR ยืนยันว่าน่าจะเป็น ring และมี side chain จากลักษณะรูป spectrum รูปที่ 31 หน้า 87

จาก Mass spectrum พบร้า m/e สูงสุดเป็น 413 เกิดจาก m/e 456 lose  $C-CH_3$  (43) ซึ่ง M.W. ของ glycoside รวม 552 และ m/e 456 คือ lose  $H_2O$  (18) ซึ่งเกิดจากหมู่ OH ได้ m/e 438 และ m/e 395 เกิดจาก 456 lose  $C-CH_3$ ,  $H_2O$  จึงได้ m/e 395 ส่วน m/e ที่สำคัญของ Mass spectrum คือ 456, 438, 431, 420, 414, 405, 396, 395, 377 ดังรูปหน้า 30, 95

จากการทดลองนี้จะได้ 60 g เป็น glycoside มี ส่วนน้ำตาลคุณจาก IR ซึ่งจะเป็น broad band แสดง glycoside linkage ที่ C-O และจาก Mass spectrum ช่วยยิ่งว่า C จาก IR spectrum จะเป็น  $C-CH_3$  และมีหมู่ OH ด้วย จากมีการ lose น้ำซึ่งสอดคล้องกับ IR ที่มีหมู่ C ของ Ketone และมีหมู่ OH ( $3,300-3560 \text{ cm}^{-1}$ ) และจากการทดสอบทางเคมี และ  $^1H$  NMR แสดงว่าเป็นสารพื้นฐานเป็น ring และมี side

chain เมื่อนำไปวิเคราะห์  $^{13}\text{C}$  NMR spectrum พบรากจาก peak พบรากอย่างน้อย 30 carbons ซึ่งจากรูปที่ 32-38 หน้า 98-104 จะเห็นว่ามี  $\text{CDCl}_3$  และ DMSO d6 ซึ่งเป็นตัว standard เทียบกับ 60 g แต่ก็มีผลทำให้ยุ่งยากในการอ่านจำนวนการบันดาลความเฉพาะ DMSO d6 ซึ่งมีถึง 7 peak และขึ้นต้น peak ของสาร 60 g เนื่องจากสาร 60 g ละลายยากจึงต้องใช้ DMSO d6 จากตารางของ 60 g จะเห็น  $\overset{\text{O}}{\underset{\text{C}}{\text{||}}}$  ของ ketone อย่างชัดเจนที่ 6.21 4.08 ppm ซึ่งสนับสนุนจาก IR spectrum และ Mass spectrum รวม  $\overset{\text{O}}{\underset{\text{C}-\text{CH}_3}{\text{||}}}$  อย่างแน่นอนของสารที่เป็น glycoside ที่มีสูตรโมเลกุล  $\text{C}_{31}\text{H}_{52}\text{O}_8$  และจาก  $^{13}\text{C}$  NMR  $\overset{\text{O}}{\underset{\text{C}}{\text{||}}}$  ที่ตอกับ O ของน้ำตาล ปรากฏให้เห็นอย่างชัดเจนที่ 6.76.66, 73.69, 69.57, 67.49, 64.33, 62.542 ppm ดังนั้นเป็น glycoside และพระราชนูตรคงกันนานี ส่วนน้ำตาลทั้งใน IR spectrum และ  $^{13}\text{C}$  NMR,  $^1\text{H}$  NMR spectrum ซึ่งน้ำตาลสูตรทั่วไปคือ  $\text{C}_6\text{H}_{12}\text{O}_6$

ส่วน aglycone คือ  $\text{C}_{25}\text{H}_{40}\text{O}_2$  เมื่อ ส่วนน้ำตาลคือ  $\text{C}_6\text{H}_{12}\text{O}_6$  ซึ่งจาก  $^{13}\text{C}$  NMR น่าจะมีน้ำตาลเพียง 1 ตัว (ไม่สามารถ hydrolyse สาร 60 g ได้เนื่องจากสารมีน้อยและไม่ได้กลับคืน)  $\text{C}_{25}\text{H}_{40}\text{O}_2$  ที่เป็น aglycone จัดว่าน่าจะเป็นพาร์ terpenes ซึ่งมาจาก isoprene units terpene แบ่งออกได้เป็น 8 กลุ่มใหญ่  $\text{C}_{25}\text{H}_{40}\text{O}_2$  จัดอยู่ใน sesterterpense (ophiobolanes) คือ ( $\text{C}_{25}\text{H}_{40}$ ) ซึ่งไม่เคยพบบ่อยนัก อย่างไรก็ตามขณะนี้ยังไม่อาจสรุปได้ว่าสาร 50 g (หรือ 60 g) มีสูตรโครงสร้างเป็นอย่างไร เนื่องจากมีสารในปริมาณจำกัด



The ophiobolanes.

## การแยกสารในสิ่งสกัดอะซีโตน

โดยวิธี kolamn' chromatography ได้สารคั่ง ในตารางที่ 12 ชื่งดูด้วย  
ตาเปล่าเห็นว่ามีสารประมาณ 4 ตัว แคมีปริมาณน้อยมากที่จะทำให้ริสุทธ์ ควรใช้  
สิ่งสกัดมากกว่านี้ แต่ที่ทำใช้สิ่งสกัดอะซีโตนเพียง 3.33 g เท่านั้น ดูจากตารางที่ 12  
หน้า 32

## การศึกษาสิ่งสกัด ในขันເຫດາອລ

เป็นตะกอนเหลือชั่ง เมื่อกรองตั้งทึบไว้จะถูก oxidized กลายเป็น<sup>2</sup>  
สีดำน้ำตาล แสดงว่าเป็นสารที่ไวดือแสง จึงเก็บไว้ในขวดสีเขียวแล้วศึกษาต่อ

## การศึกษาสิ่งสกัด ในขันน้ำ

จะได้ศึกษาหา 1) น้ำตาล 2) กรดอะมิโน 3) ชาคุที่มีสิ่งสกัด<sup>2</sup>  
ในขันน้ำ 25 g ได้จากสิ่งสกัดເຫດາອລกวนด้วยเชกเช่น, กลอโรฟอร์ม, อะซีโตน,  
ເຫດາອລและน้ำ ตามลำดับ

1. เมื่อได้สิ่งสกัดในขันน้ำนำไปวิเคราะห์น้ำตาลโดยใช้เครื่อง HPLC  
โดยมี glucose, arabinose, xylose, sucrose, maltose, rhamnose  
เป็น standard ไม่พบว่ามีน้ำตาลชนิดใด ดูรูปได้จากรูปที่ 4 หน้า 65

## 2. กรดอะมิโน

นำสารละลายใส่สีเหลืองอ่อนที่เหลือจากการทำวิเคราะห์น้ำตาลนำมายังวิเคราะห์  
หากกรดอะมิโนโดยใช้เครื่อง Amino acid Analyzer พบร่วมกับ Glutamic acid  
มากที่สุด รองลงมาคือ phenylalanine, G-NH<sub>2</sub> butyric ชั่งจากตาราง  
ที่ 13 หน้า 38 มีกรดอะมิโน 14 ชนิด และบอกความเข้มข้นของกรดอะมิโน<sup>2</sup>  
แต่ละชนิดไว้ด้วย

### 3. การศึกษาชนิดของธาตุในสิ่งสกัดด้วยน้ำ

นำสิ่งสกัดด้วยน้ำที่ขันเนี้ยวน้ำไปวิเคราะห์ด้วย x-ray Fluorescence พบราก  
มีธาตุ K (Potassium), Cl (Chloride) มากซึ่งก็คือ KCl และพบราก  
S (Sulfur), Fe (Iron) บางจำนวนเล็กน้อย

#### สรุป

ในการศึกษาสารเคมีที่สกัดจากสีเดคิน พบรากศึกษา part ที่สำคัญ  
คือ part เอ็กเซน, คลอโรฟอร์ม, น้ำ โดย part เอ็กเซนพบสารสำคัญ  
3 ชนิด ชนิดแรกคือ wax ซึ่งมี 10 ชนิดทราบจากการวิเคราะห์  
GC & MS และ steroid 3 ชนิด  $\alpha$ -spinasterol  
และ trace  $\Delta^7$ -stigmastenol,stigmasterol ใช้ในการเตรียม  
steroid hormones ส่วนตัวสุดท้าย 40 ช. คาดว่าเป็นตัวเดียวกัน 19 g.  
 เพราะได้ IR spectrum เมื่อนอกัน และมีตัวที่ไม่ได้วิเคราะห์ 1 - 2 ตัว  
part คลอโรฟอร์มมีสารน่าสนใจ คือเป็น unknown ทั้ง 2 ตัว ทราบจาก  
การค้นเอกสารแล้วไม่พบว่าเป็นสารอะไรแต่คาดว่าเป็นสารประเภทไหน ซึ่ง mp  
สูงมากคือ 270 กว่าขึ้นไป มีอย่างน้อย 2 ตัวคือ triterpenoid (19 g)  
และ glycoside (60 g) ซึ่งคงส่งไปวิเคราะห์ด้วย x-ray คูโกรงสร้าง  
ที่แท้จริง

ทั้ง 2 ตัวซึ่งคาดว่าเป็นพวก oleanane ของ 19 g ส่วน 60 g เป็น  
glycoside พาก ophiobolane  
นอกจากนี้ยังพบ NaCl (จากการ run x-ray Fluorescence ) ใน  
fraction 121-122 ของคอลัมน์คลอโรฟอร์ม โดยใช้ 60 % MeOH เป็นตัวช่วย  
และยังมีสาร 45 g 77 g ที่ยังไม่ได้วิเคราะห์ เนื่องจากสารนี้อยู่ตกลงให้รัฐช์  
ยกเพราะมีลาราหดายตัว

นอกจากสิ่งสกัดด้วยอะโนตันก็มีสาร 2 - 3 ตัว แต่สารมีน้อยจึงไม่ได้ศึกษาต่อ  
ส่วนสิ่งสกัดในน้ำพน้ำมี K, Cl และมี Fe, S เล็กน้อย รวมทั้งพม amino acid  
ทั้งหมด 17 ชนิดที่มีมากที่สุดคือ Glutamic acid

START 28.01.11.24.

ต่อต่อต่อ 10  $\mu$ l.

1.7

METHOD 40  
STOP

START 28.01.11.37.

ต่อต่อต่อ 10  $\mu$ l

1.63

2.66

STOP

START 28.01.11.49.

mix std

1.75

3.58

4.36

3.49

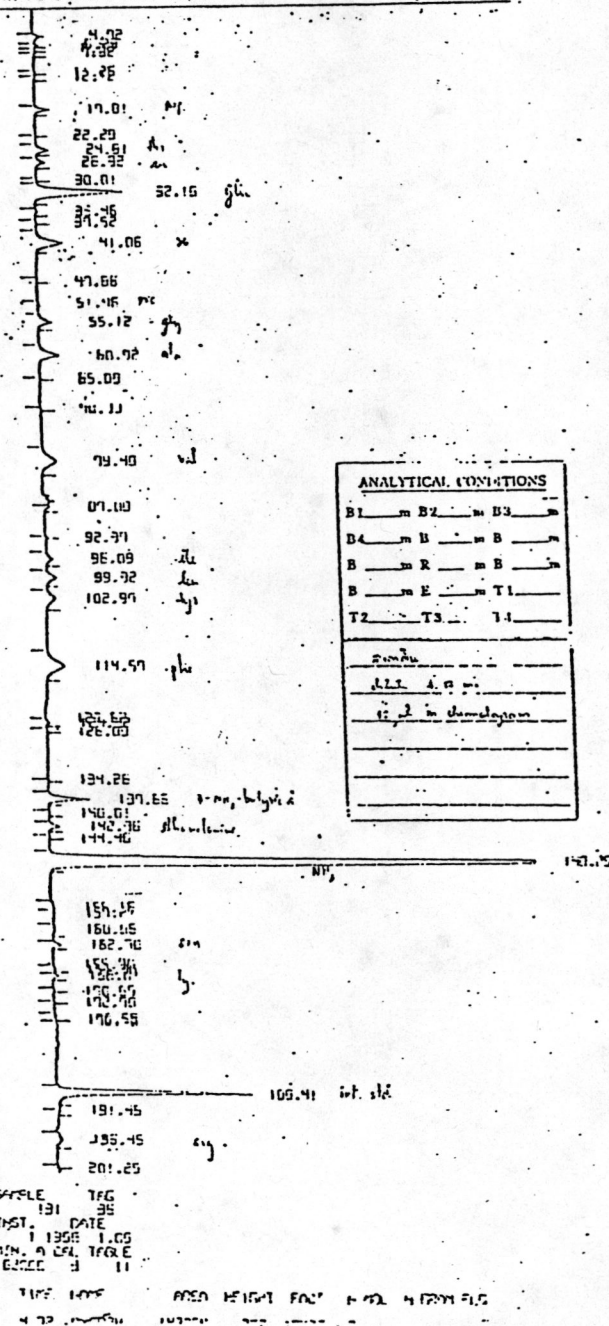
5.03

3.94

8.41

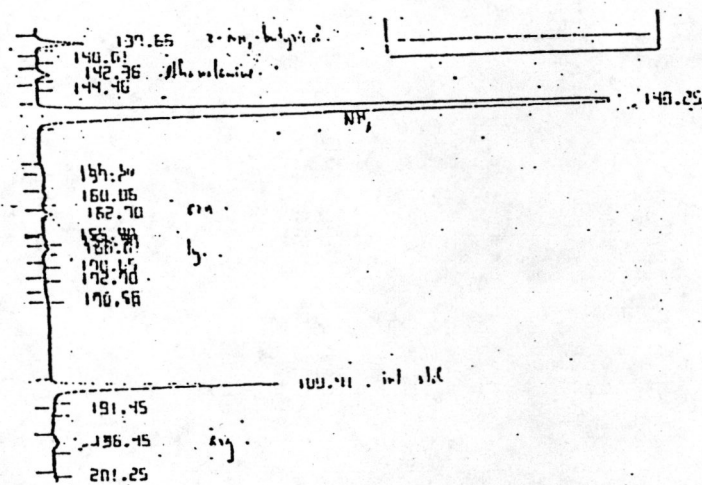
STOP

## E35 HITACHI AMINO ACID ANALYZER



รูปที่ 5 แสดง amino acid analyzer  
ของสหเดลิน

สเปกตรัมในชั้นนำ

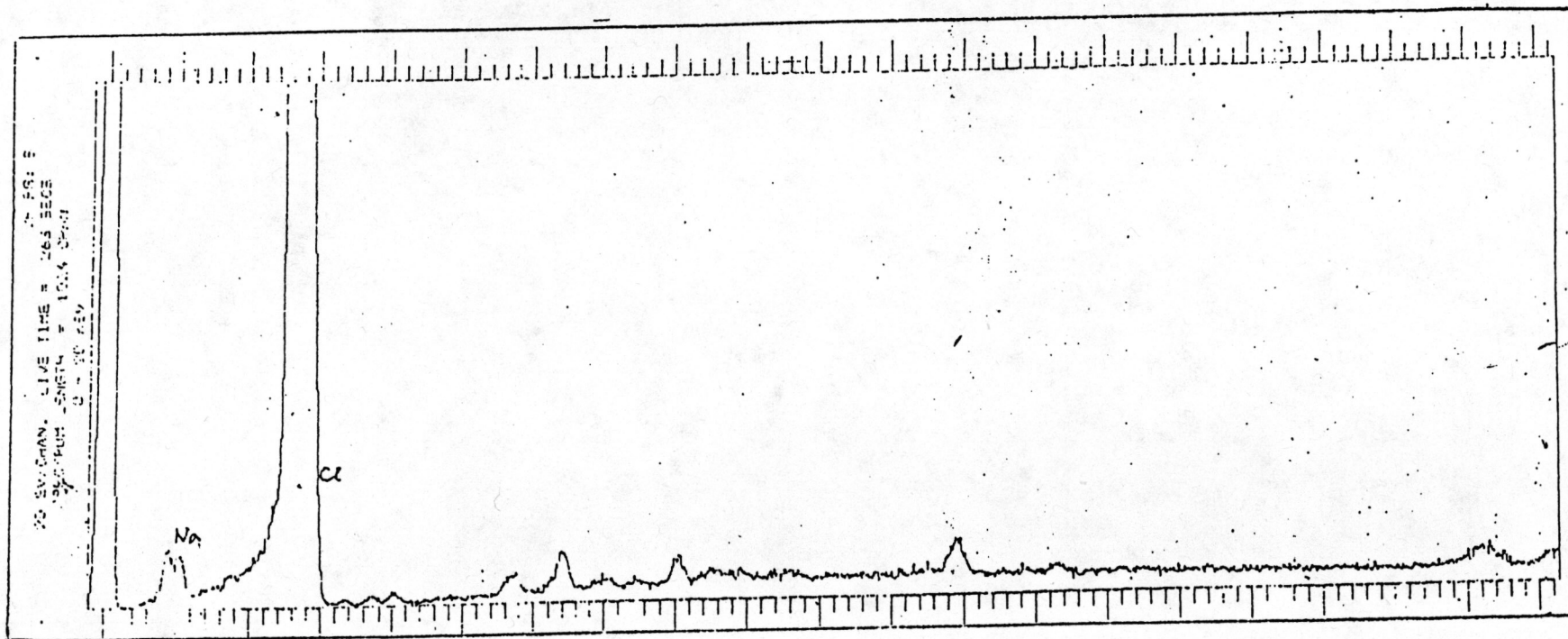


SAMPLE TAG  
131 36  
INST. DATE  
2 1968 1.09  
MIN. A CAL TABLE  
62000 3 11

TIME	NAME	AREA	HEIGHT	FACT	N MOL	N GRAM	FLG	
4.72	DYSOSH	143054	2781	19938	2.566	434.19		
17.91	ASP	156774	3420	20139	3.166	491.59		
24.81	THR	151957	3118	19030	3.660	435.61		
26.32	SER	146937	2157	19508	2.731	256.70		
32.19	GLU	1787523	27713	10121	32.751			
41.06	0	274461	6239	1000	0.074	0.00		
55.42	GLY	2794026	3149	19511	4.000	366.45		
60.92	ALA	490759	4719	19305	9.515	946.96		
79.49	VAL	532353	3409	19936	10.559	1237.00		
90.00	ILE	139339	1504	19510	2.710	356.66		
99.92	LEU	251405	2439	1000	0.251	0.00		
102.97	TYR	289417	2116	19903	5.903	1020.91		
114.57	PHE	697012	4120	22479	15.660	2599.31		
131.66	VAL	0	575540	9333	1000	0.575	0.00	
142.36	ETH	0	150044	2460	1000	0.150	0.00	
148.25	LYS	12590494	162254	19271	252.569			
153.21	0	102427	759	1000	0.102	0.00		
160.06	TRP	2	09510	955	27012	2.330	497.72	
162.70	0	105145	2041	1000	0.105	0.00		
163.01	NH3	145	62529	1275	46924	2.546	561.62	
190.41	4-SEC	0	2051441	47194	1000	2.051	0.00	
191.45	0	94366	941	1000	0.034	0.00		
196.45	ARG	160692	1293	20193	3.373	581.64		

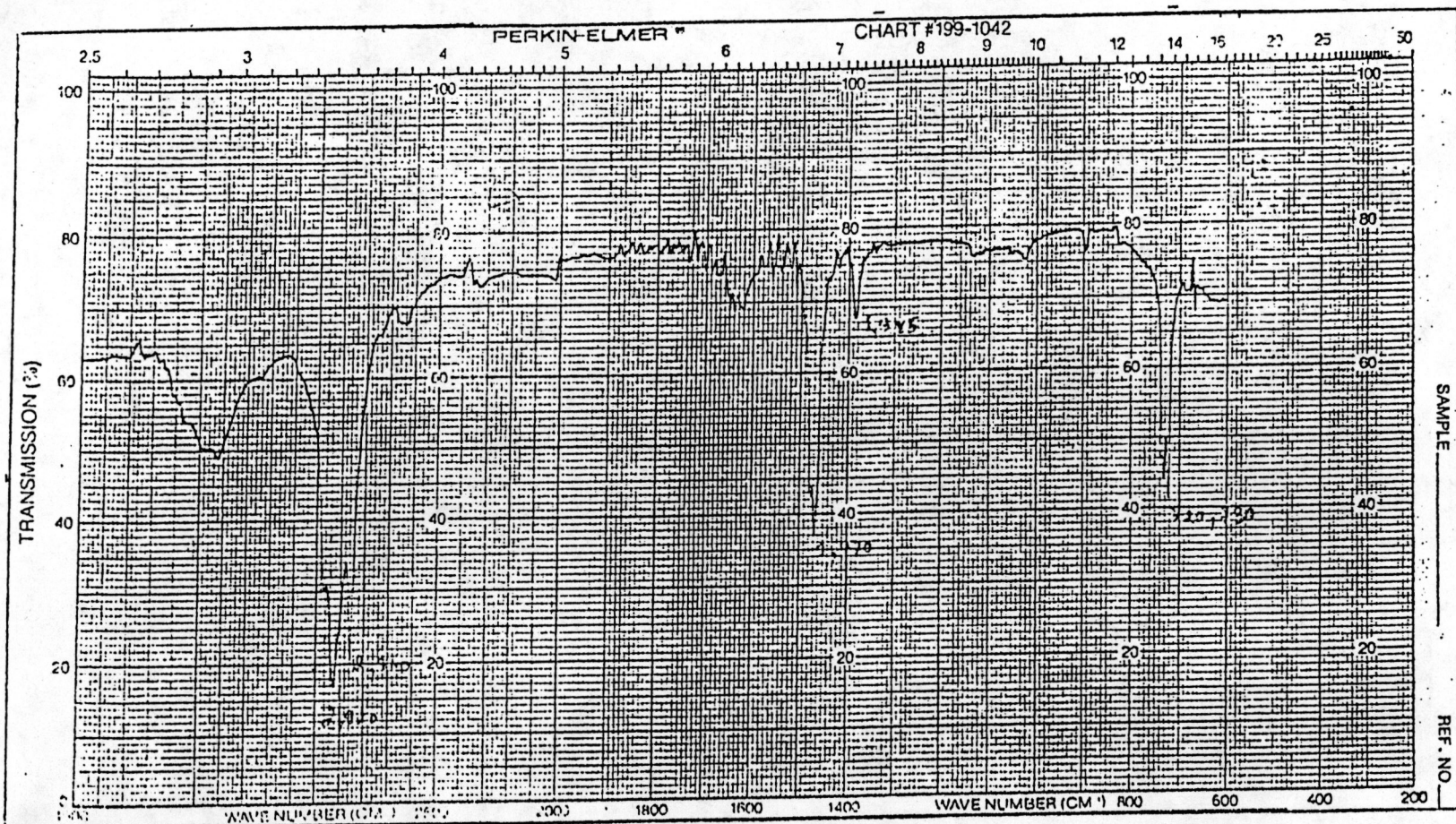
SAMPLE TAG  
131 36  
INST. DATE  
2 1968 1.09  
MIN. A CAL TABLE  
30000 33 21

TIME	NAME	AREA	HEIGHT	FACT	N MOL	N GRAM	FLG
4.72	0	267276	8169	1000	0.267	0.00	
17.71	0	49227	933	1000	0.042	0.00	
24.98	0	31117	764	1000	0.031	0.00	
32.16	0	370391	4432	1000	0.370	0.00	
41.06	0	92562	1161	1000	0.093	0.00	
51.46	PRO.	52491	1173	39719	3.673	423.00	
55.17	0	31599	557	1000	0.036	0.00	
61.77	0	50112	879	1000	0.050	0.00	
0.00	0	80125221030286107524	1000		0.00	122	
0.00	224	1714270	13453	1000	1.714	0.00	120
0.00	0	175	000405520100027670	1000	0.00	121	
0.00	0	150	000405520100027670	1000	0.00	122	
0.00	104	72243620303561556	1000		0.00	122	
0.00	76	1320755322373	1000	0.003	0.00	121	
0.00	76	25317401055537	1000	0.013	0.00	121	

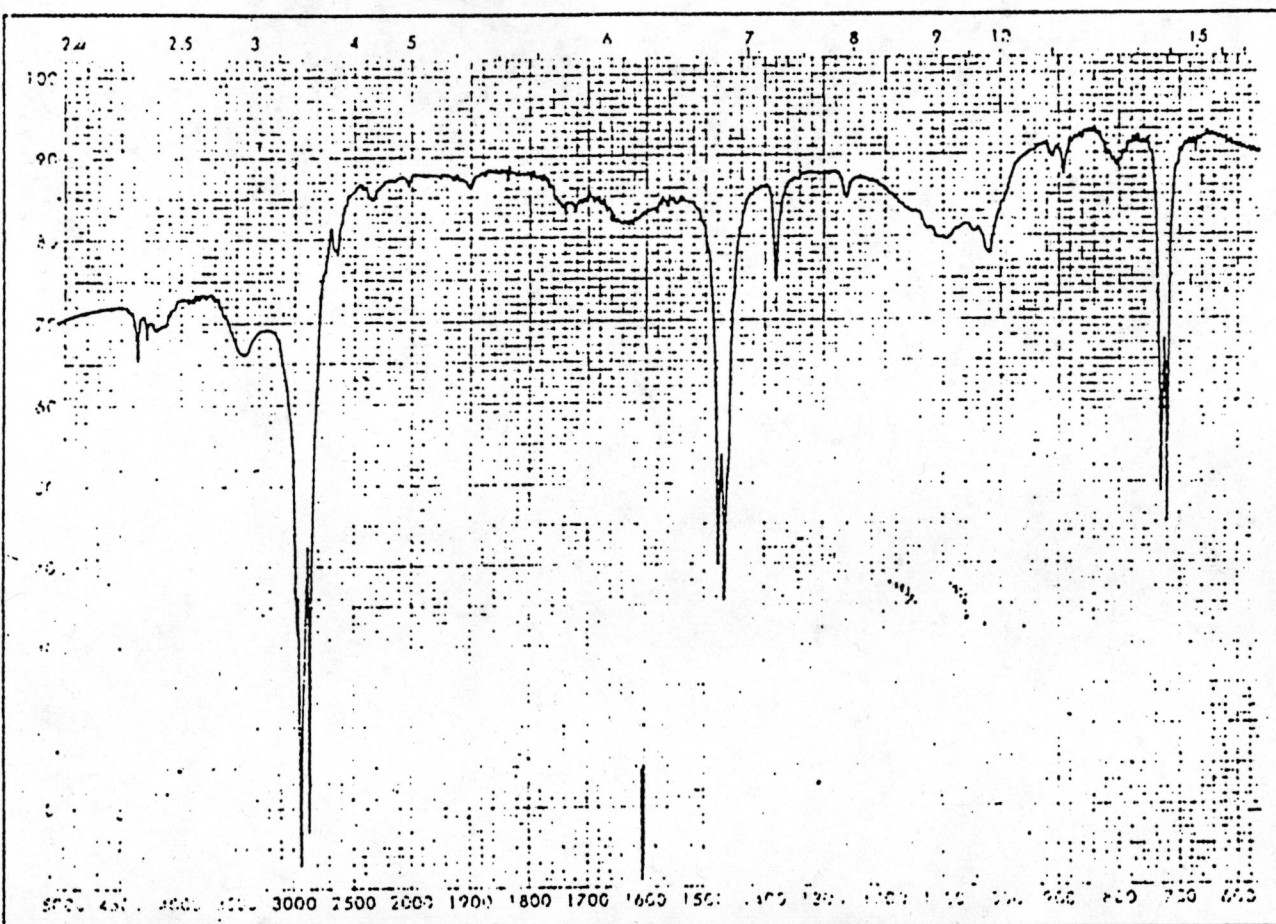


รูปที่ 7

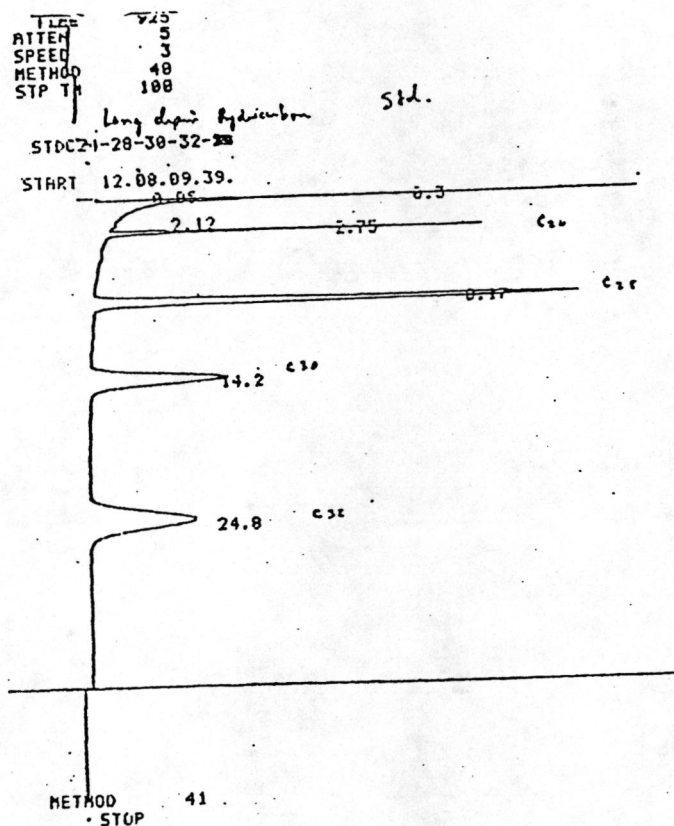
ผลึกเกลือ NaCl จาก x-ray Flourescence



รูปที่ 8 อินฟราเรดสเปกตรัมของ 1-3 ข้าวเป็น wax



รูปที่ 9 standard อินฟราเรดสเปกตรัมของ long chain hydrocarbon

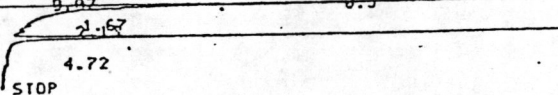


METHOD: 41  
 STOP

C-R1A  
 SMPL #: 00  
 FILE #: 6  
 REPT #: 1434  
 METHOD: 41

#	NAME	TIME	CONC	MK	AREA
0		0.05	0.0431		3887
0		0.3	75.5491	E	6662724
0		2.12	0.0257	I	2267
0	C24	2.75	2.7105	I	239043
0	C25	8.17	18.1771		897529
0	C26	14.2	4.9293		434724
0	C27	24.8	6.5649		578963
	TOTAL		99.9999		8819068

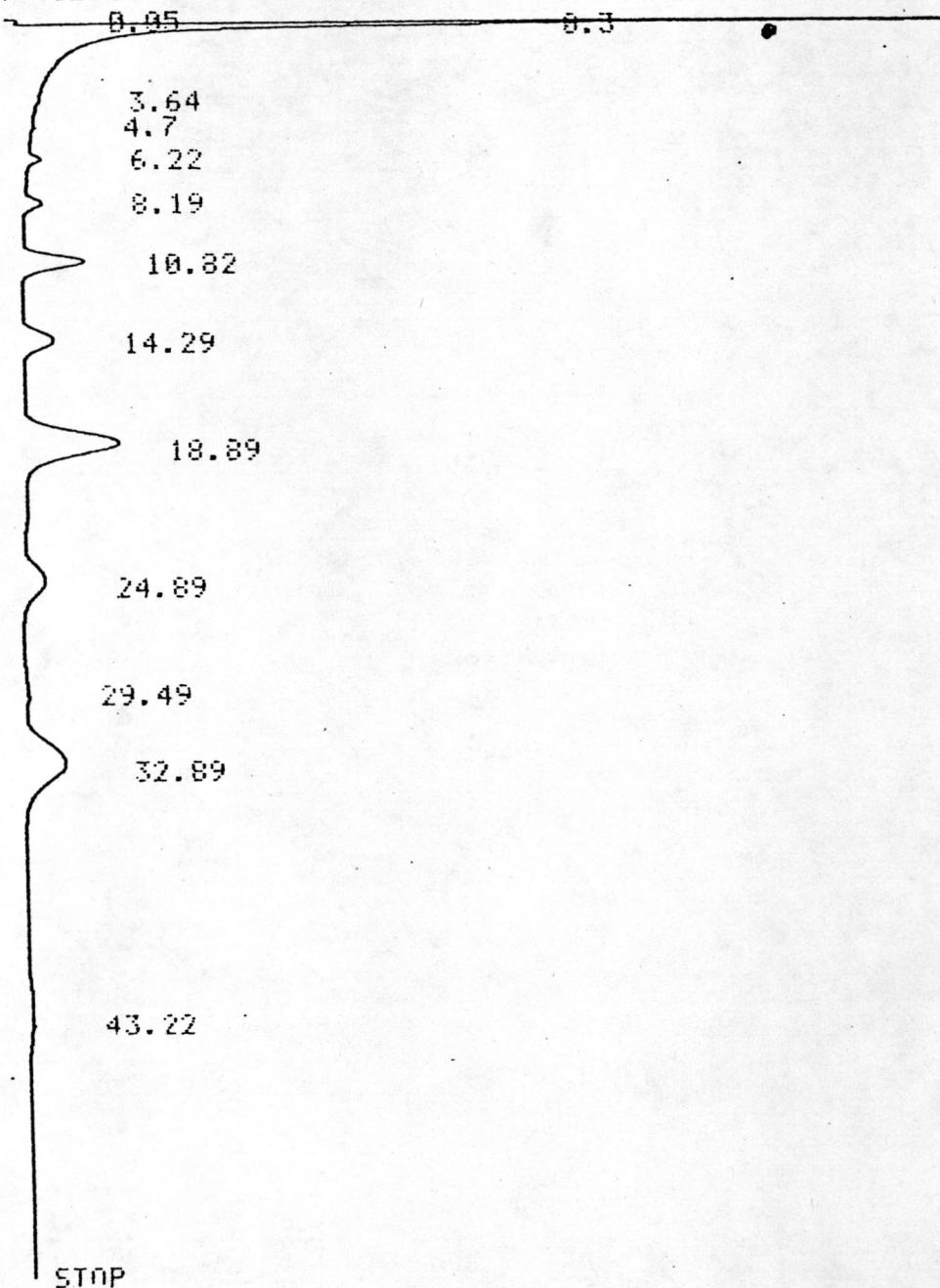
C24  
 START: 12.08.10.57.



C-R1A  
 SMPL #: 00  
 FILE #: 6  
 REPT #: 1435  
 METHOD: 41

#	NAME	TIME	CONC	MK	AREA
0		0.07	0.0323		2559
0		0.3	87.9114	E	6957992
0		1.67	0.0299	I	2369
0		2.13	0.0422	I	3346
0		2.77	11.9451	I	945431
0		4.72	0.037	T	5070

KASINEE  
1-3H.C  
START 12.08.14.12.



รูปที่ 11 แสดง gas chromatography สเปกตรัมของสาร 1-3 ช

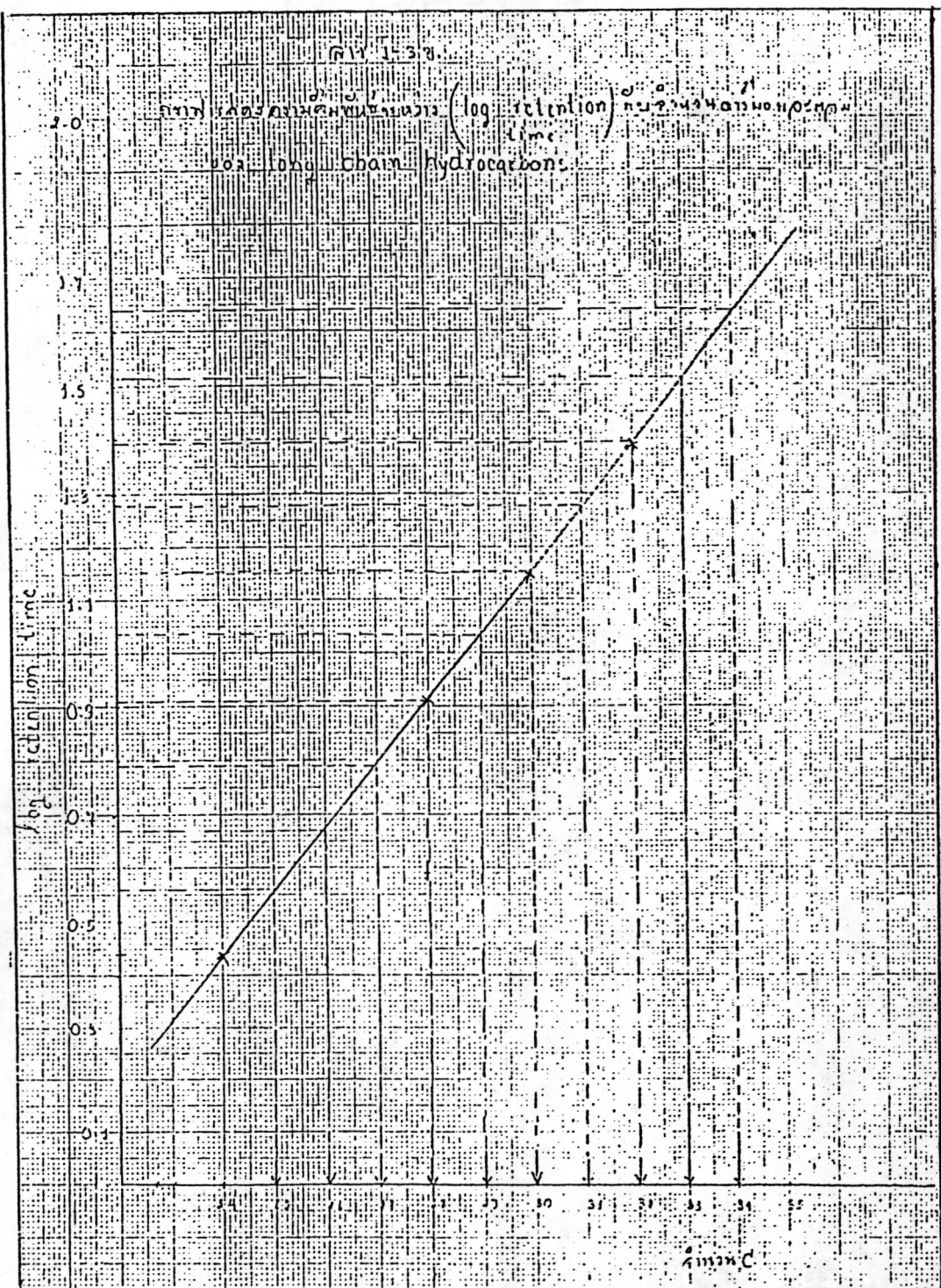
จาก MS หน้า 76 ยืนยันว่าเป็นไฮโดรคาร์บอนตั้งกล่าวจริงในลักษณะ  
ที่เป็น mixture ของ saturated long chain hydrocarbon อิยางนอย  
10 ชนิด มีถลวยตัวของ  $C_{25}H_{52}$ - $C_{34}H_{70}$

ตารางที่ 14 Retention times ของ standard long chain  
hydrocarbons

Retention time	log retention time	จำนวนการนับ
2.75	0.439	24
8.17	0.912	28
14.2	1.152	30
24.8	1.394	32

ตารางที่ 15 Retention times ของสาร 1-3 ช

Retention time	log retention time	จำนวนการนับ
3.64	0.561	25
4.7	0.672	26
6.22	0.794	27
8.19	0.013	28
10.82	1.034	29
14.29	1.155	30
18.89	1.276	31
24.89	1.396	32
32.89	1.517	33
43.22	1.636	34



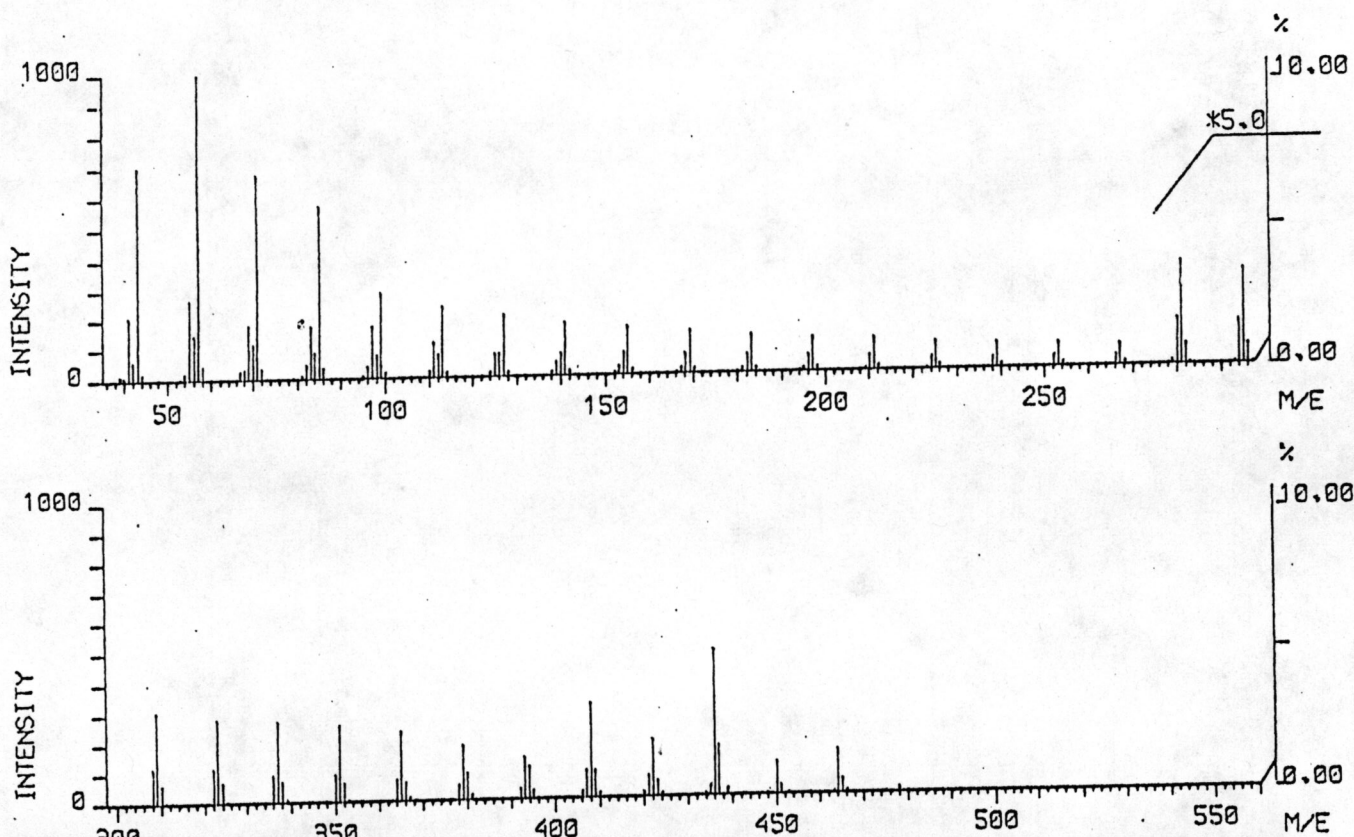
รูปที่ 12 สัดส่วนของเวลาการดูดซึ้ง (log. retention time) กับอุณหภูมิ (Temperature) long chain hydrocarbon

MASS SPECTRUM : (20 TO 22)

SAMPLE: 1-3 22 JAN 88.

NOTE: 241/4, EI, 70V, 300UA, CHAMB, TEMP. 150.

BASE PEAK : M/E 57.0 INT. 595.3



รูปที่ 13

แสดงแมสสเปกตรัมของ 1-3 \*

MASS SPECTRUM : (32 TO 34)

SAMPLE: 1-3 22 JAN 88.

NOTE : 241/4.EI, 70V, 300UA, CHAMB, TEMP. NOTE : 241/4.EI, 70V, 300UA, CHAMB, TEMP. NOTE : 241/4.EI, 70V, 300UA, CHAMB, TEMP. 150.  
BASE PEAK : M/E 51.0 INT. 814.7 BASE PEAK : M/E 51.0 INT. 814.7 BASE PEAK : M/E 51.0 INT. 814.7

M/E RAW INT. R.INT. SIGMA(%)

41.0	167.5	205.6	2.96
43.0	577.4	708.7	10.23
55.0	245.8	301.7	4.35
56.0	141.3	173.4	2.50
57.0	814.7	1000.0	14.43
69.0	204.7	251.2	3.62
70.0	133.5	163.9	2.36
71.0	757.4	929.6	13.42
83.0	204.3	250.8	3.62
84.0	100.9	123.9	1.78
85.0	622.8	764.4	11.03
97.0	197.8	242.7	3.50
99.0	295.7	362.9	5.23
111.0	118.0	144.8	2.09
113.0	235.9	289.5	4.17
127.0	197.3	242.1	3.49
141.0	165.1	202.7	2.92
155.0	141.0	173.1	2.49
169.0	119.8	147.1	2.12
183.0	105.2	130.3	1.88
197.0	96.3	118.2	1.70

END

MASS SPECTRUM : (32 TO 34)

SAMPLE: 1-3 22 JAN 88.

NOTE : 241/4.EI, 70V, 300UA, CHAMB, TEMP. NOTE : 241/4.EI, 70V, 300UA, CHAMB, TEMP. NOTE : 241/4.EI, 70V, 300UA, CHAMB, TEMP. 150.  
BASE PEAK : M/E 51.0 INT. 814.7 BASE PEAK : M/E 51.0 INT. 814.7 BASE PEAK : M/E 51.0 INT. 814.7

M/E RAW INT. R.INT. SIGMA(%)

210.0	46.3	56.9	2.82
211.0	87.4	107.3	5.33
224.0	41.8	51.3	2.55
225.0	82.3	101.0	5.01
238.0	38.9	47.7	2.37
239.0	75.5	92.7	4.60
252.0	35.9	44.1	2.19
253.0	72.6	89.1	4.42
266.0	33.5	41.2	2.04
267.0	69.0	84.8	4.21
281.0	68.6	84.2	4.18
295.0	64.0	78.5	3.90
303.0	65.1	79.9	3.96
323.0	63.0	77.3	3.84
337.0	60.3	74.0	3.67
351.0	60.8	74.6	3.70
365.0	55.9	68.6	3.40
379.0	51.3	63.0	3.12
393.0	45.5	55.9	2.77
407.0	33.6	41.3	2.05
408.0	40.7	49.9	2.48 C <sub>4</sub> H <sub>10</sub>
421.0	34.0	41.1	2.01
422.0	43.0	52.7	2.62 C <sub>5</sub> O H <sub>11</sub>
436.0	143.6	176.2	8.75
437.0	49.1	61.0	3.03 C <sub>5</sub> H <sub>14</sub>
450.0	49.9	61.3	3.04
454.0	93.5	114.1	5.69 C <sub>5</sub> H <sub>11</sub>
455.0	33.6	41.3	2.05

END

C<sub>3</sub>H<sub>7</sub>

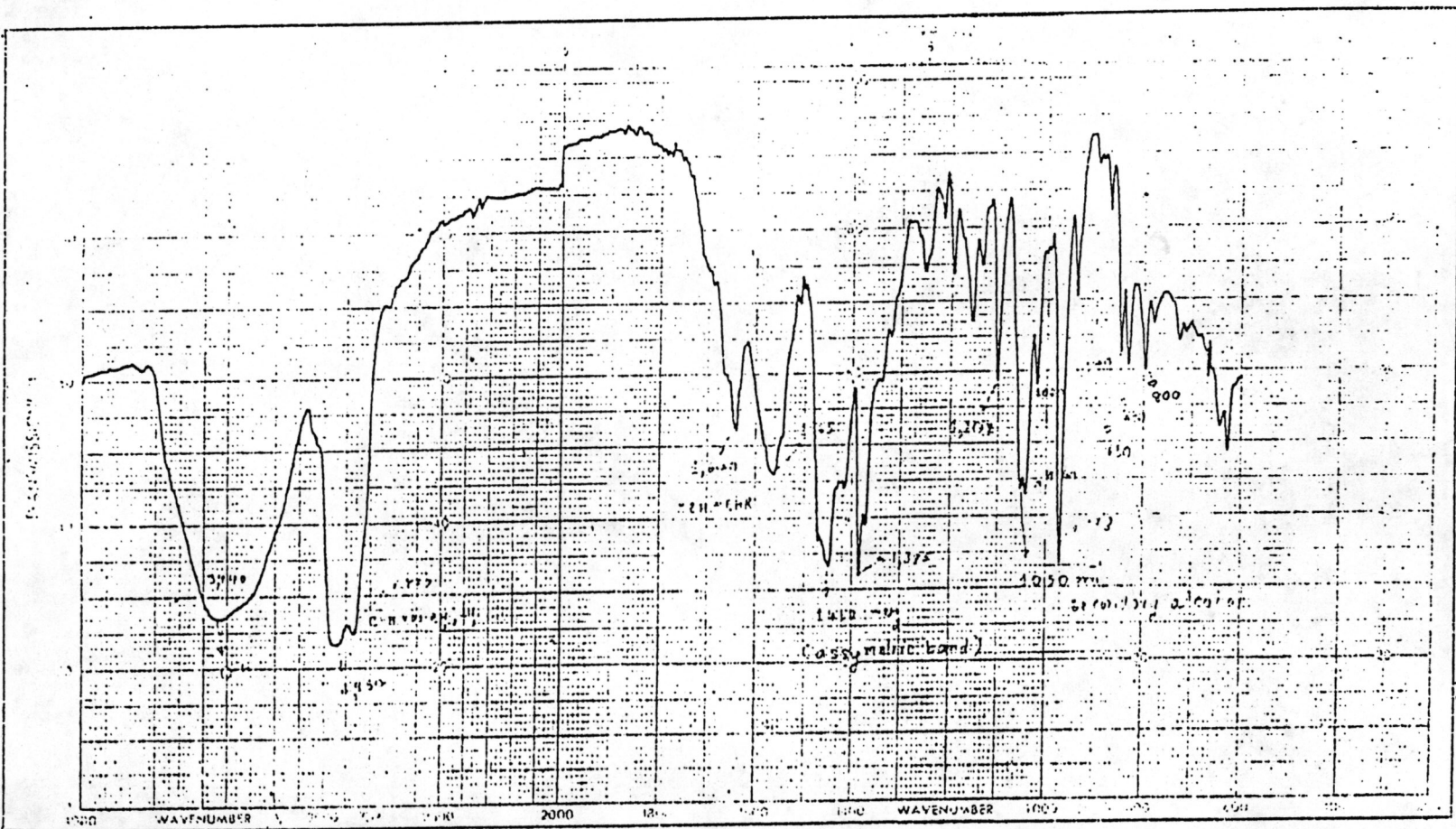
MASS SPECTRUM : (32 TO 34)

SAMPLE: 1-3 22 JAN 88.

NOTE : 241/4.EI, 70V, 300UA, CHAMB, TEMP. NOTE : 241/4.EI, 70V, 300UA, CHAMB, TEMP. NOTE : 241/4.EI, 70V, 300UA, CHAMB, TEMP. 150.  
BASE PEAK : M/E 51.0 INT. 814.7 BASE PEAK : M/E 51.0 INT. 814.7 BASE PEAK : M/E 51.0 INT. 814.7

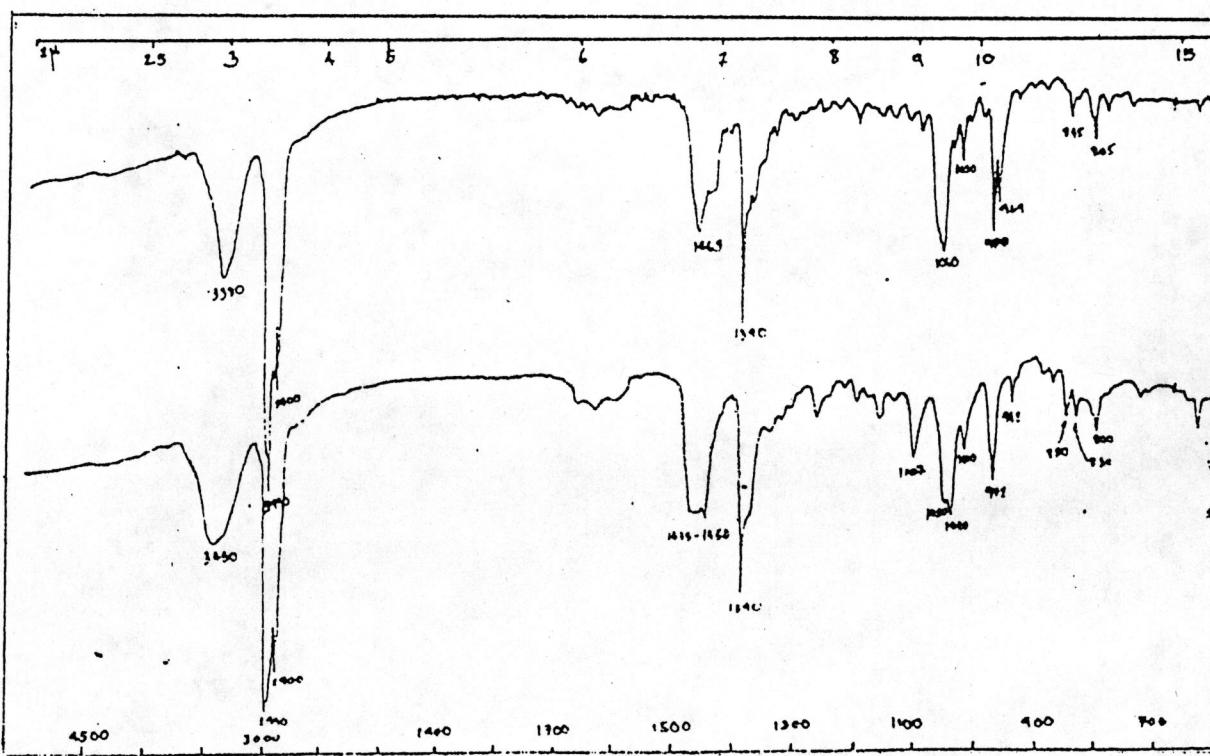
M/E RAW INT. R.INT. SIGMA(%)

476.0	1.0	1.3	2.91
477.0	2.3	2.8	6.32
478.0	14.1	17.3	38.51 C <sub>3</sub> H <sub>10</sub>
479.0	4.8	5.9	13.31
481.0	0.9	1.1	2.66
491.0	0.9	1.1	2.66
492.0	7.6	9.4	20.96 C <sub>3</sub> H <sub>7</sub>
493.0	2.1	3.3	7.40
506.0	1.9	2.3	5.24 END

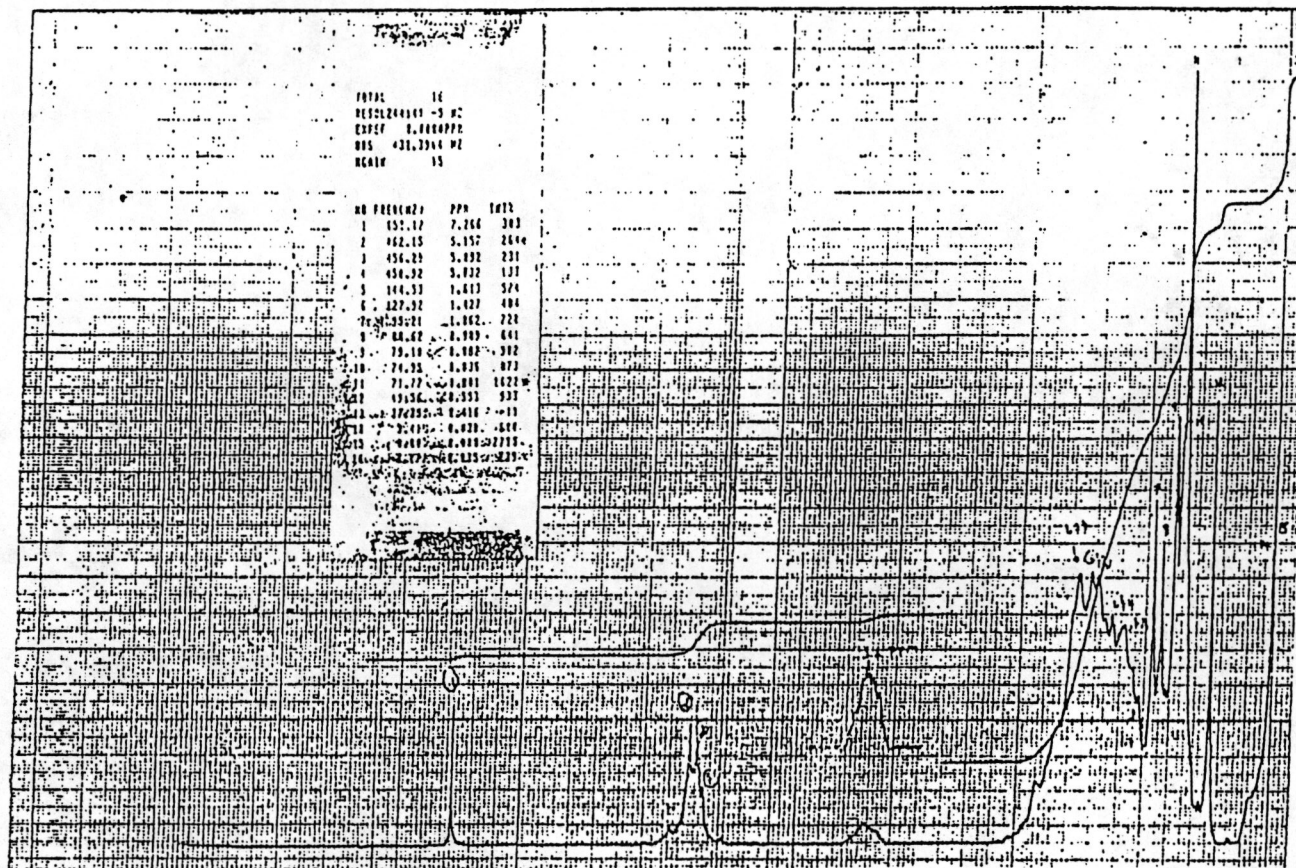


รูปที่ 14

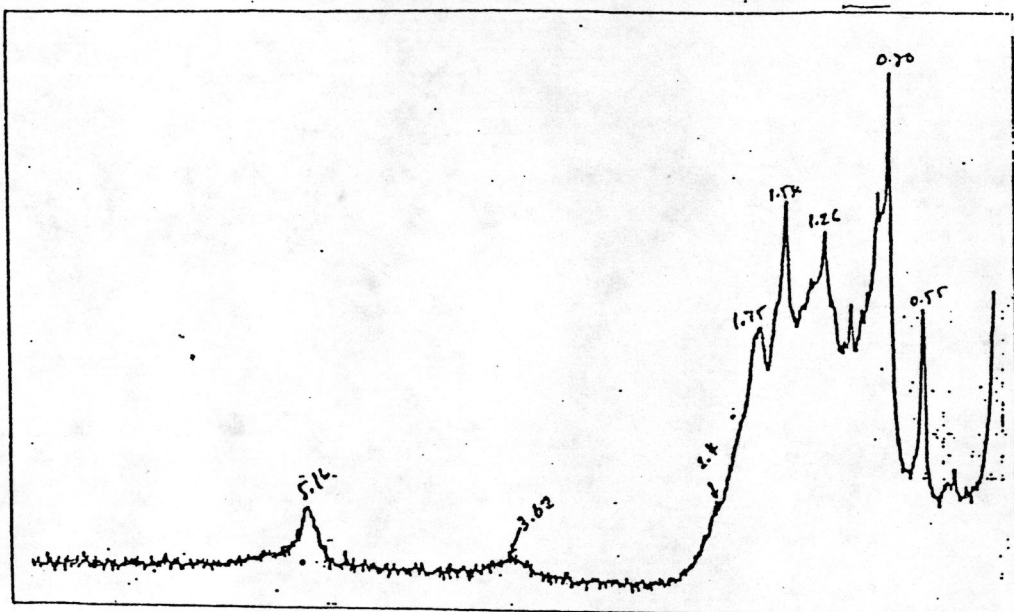
อินฟราเรดสเปกตรัมของสาร 20 % คากัวเป็น  $\alpha$ -spinasterol



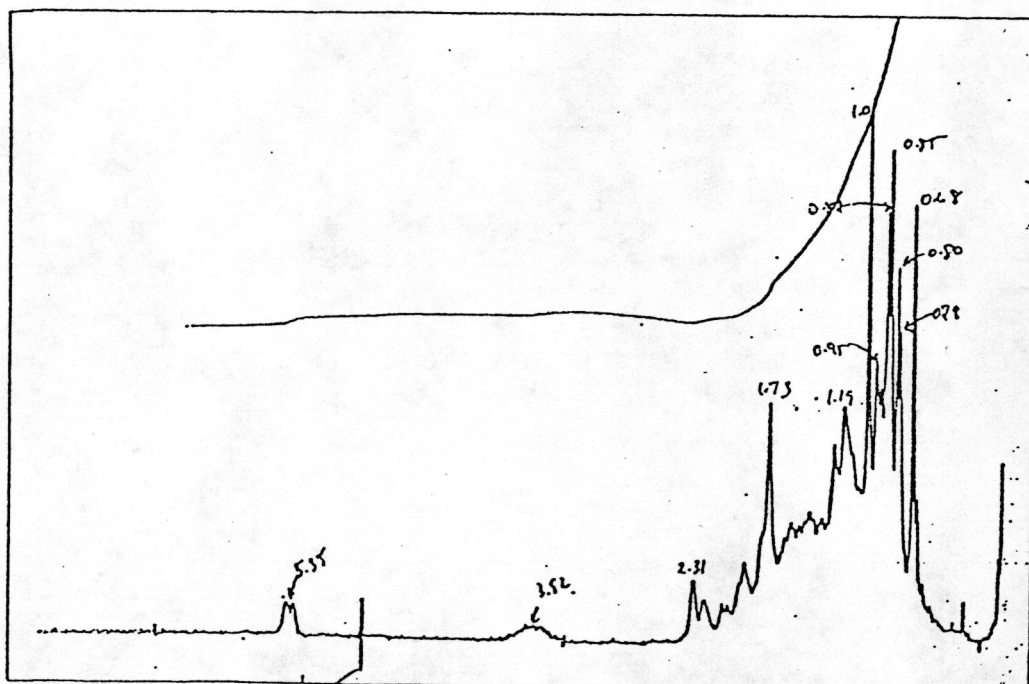
รูปที่ 15 แสดง standard อินฟราเรดสเปกตรัมของสาร  $\Delta$ -spinasterol  
และ stigmasterol.



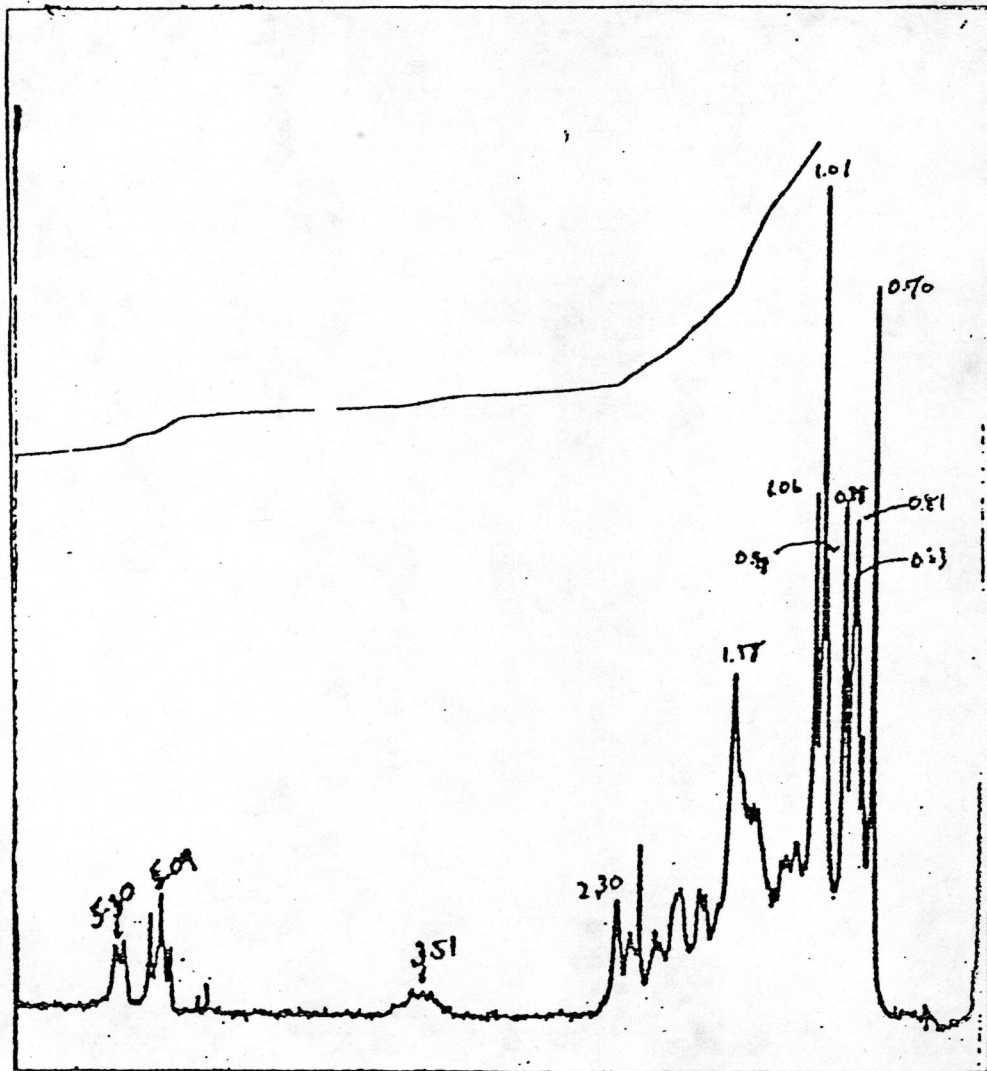
รูปที่ 16 แสดงนิวเคลียร์แมกเนติกเรโซโนนنسเปกตรัมของสาร 20 ช  
คากัวเป็น  $\alpha$ -spinasterol



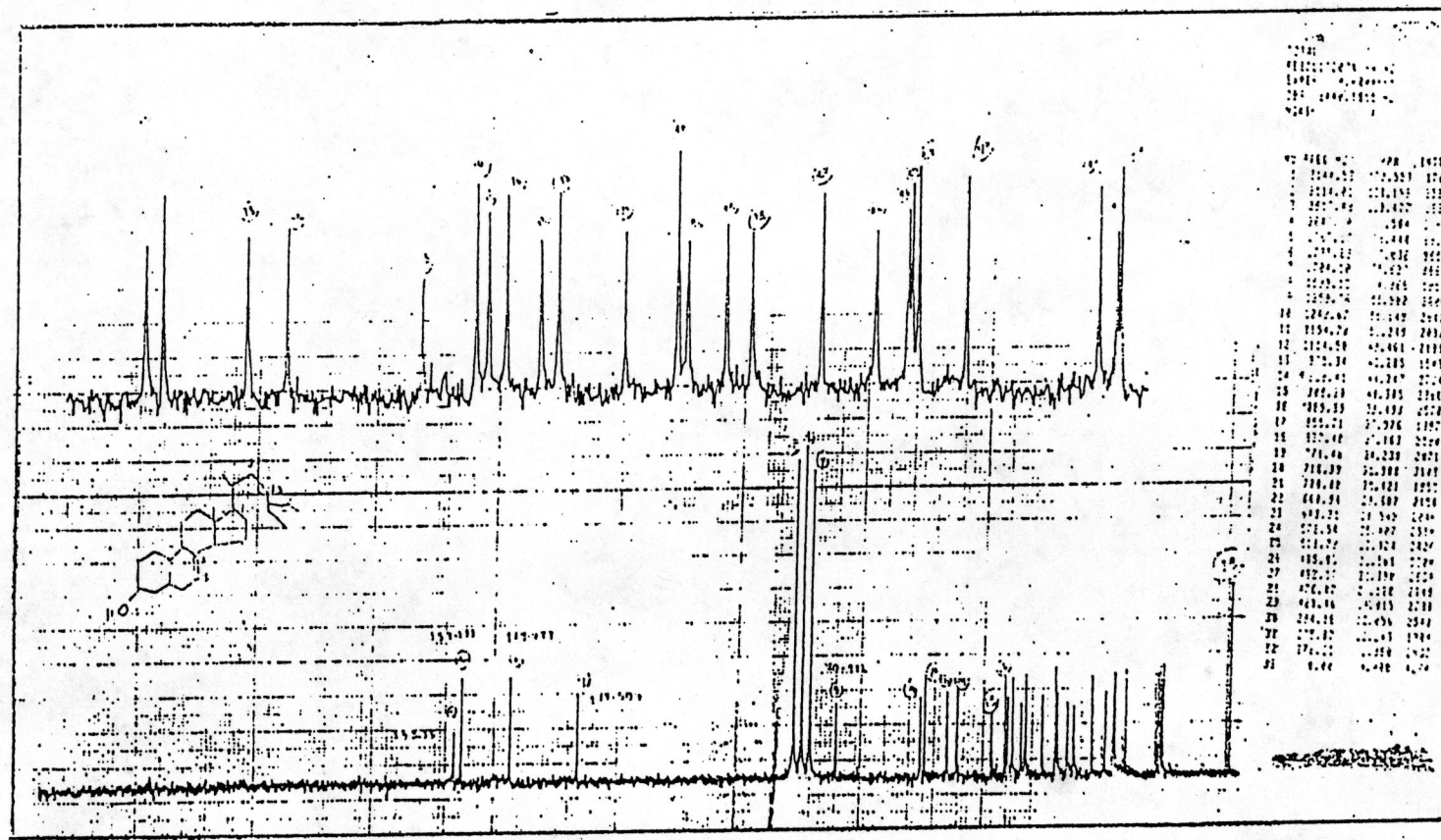
รูปที่ 17 แสดง standard นิวเคลียร์แมกเนติกเรโซแนซ์สเปกตรัมของ  
 $\alpha$ -spinasterol



รูปที่ 18 แสดง standard นิวเคลียร์แมกเนติกเรโซแนซ์สเปกตรัมของ  
 $\beta$ -sitosterol

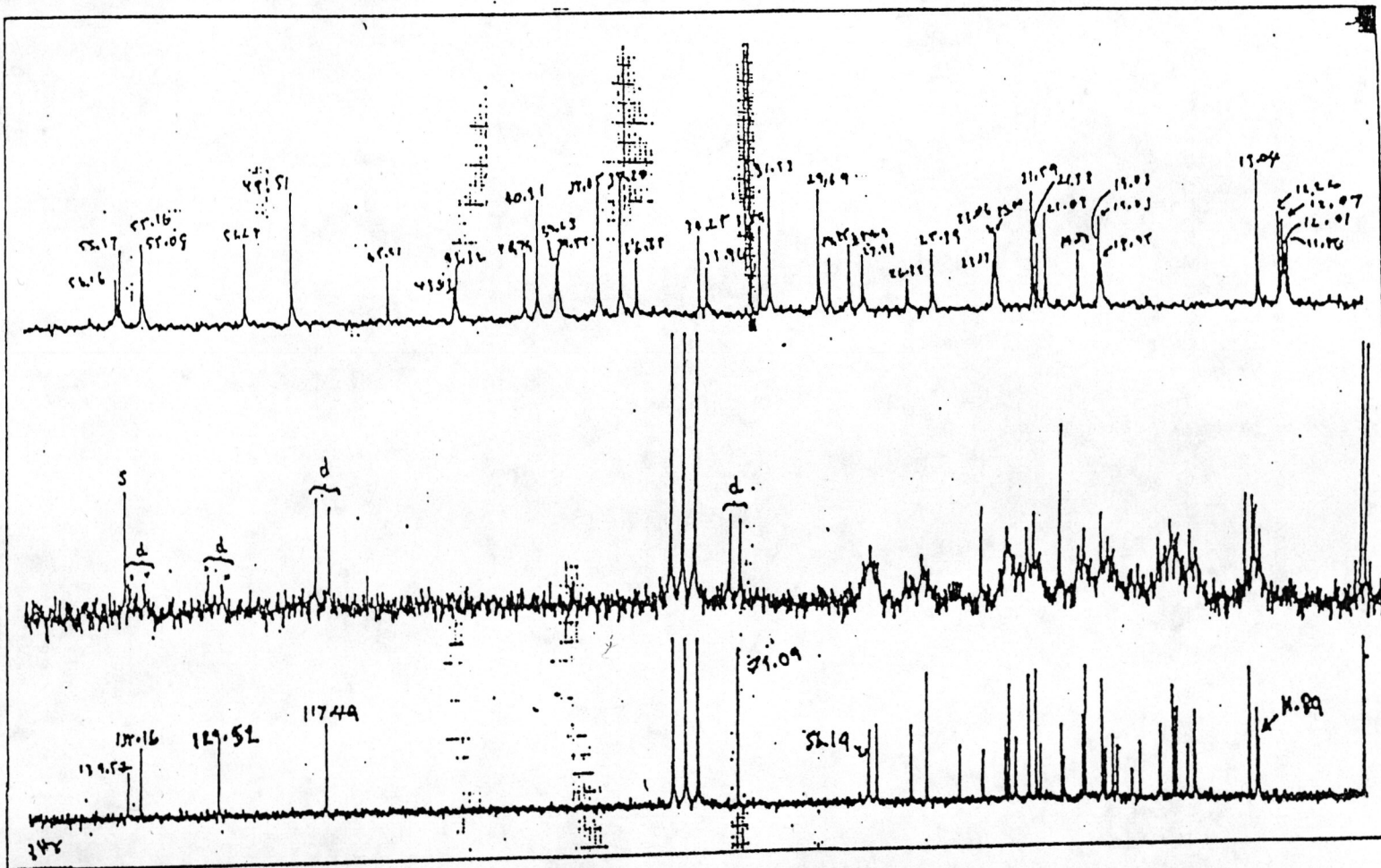


รูปที่ 19 standard ของคราบอน-13 นิวเคลียร์แมกเนติกเรโซแนซ์สเปกตรัม  
ของ stigmasterol

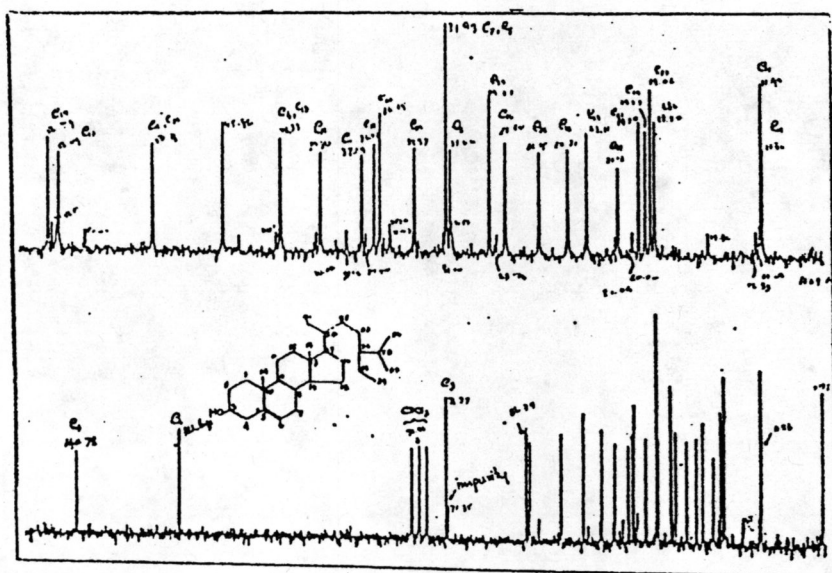


รูปที่ 20

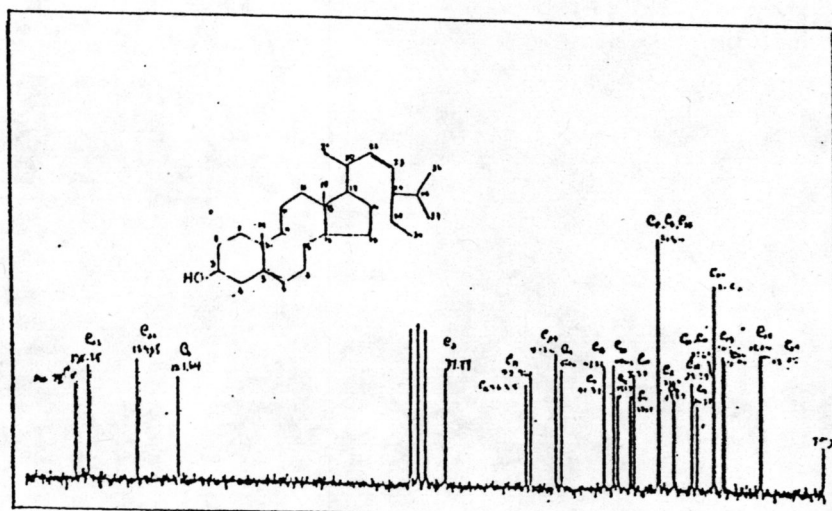
การบอน-13 นิวเคลียร์แมกเนติกเรโซแนนซ์สเปกตรัมของสาร 20 ชีคากัวเป็น  $\alpha$ -spinasterol



รูปที่ 21 แสดง standard ของการบัน-13 นิวเคลียร์เมกานติก  
เรซิแกนส์สเปกตรัมของ  $\alpha$ -spinasterol



$^{13}\text{C}$  NMR spectra ของ  $\beta$ -sitosterol



$^{13}\text{C}$  NMR spectra ของ stigmasterol

รูปที่ 22

การบอน-13 นิวเคลียร์แมกเนติกเรโซโนانซ์สเปกตรัมของ

$\beta$ -sitosterol และ stigmasterol

12.15.16.11.

4.5  
10.77

11.84

STOP

METHOD 41

GC-21P

SMPL # 00

FILE # 7

REPT # 304

MFT#00 41

#	NAME	TIME	CORR	RF	AREA
0		0.43	38.6152	E	5934582
0		0.6	0.3016		20200
0		10.77	0.6442	V	43142
0		11.84	10.4388	V	6999033
	TOTAL		99.9999		6697018

ATTEN 5

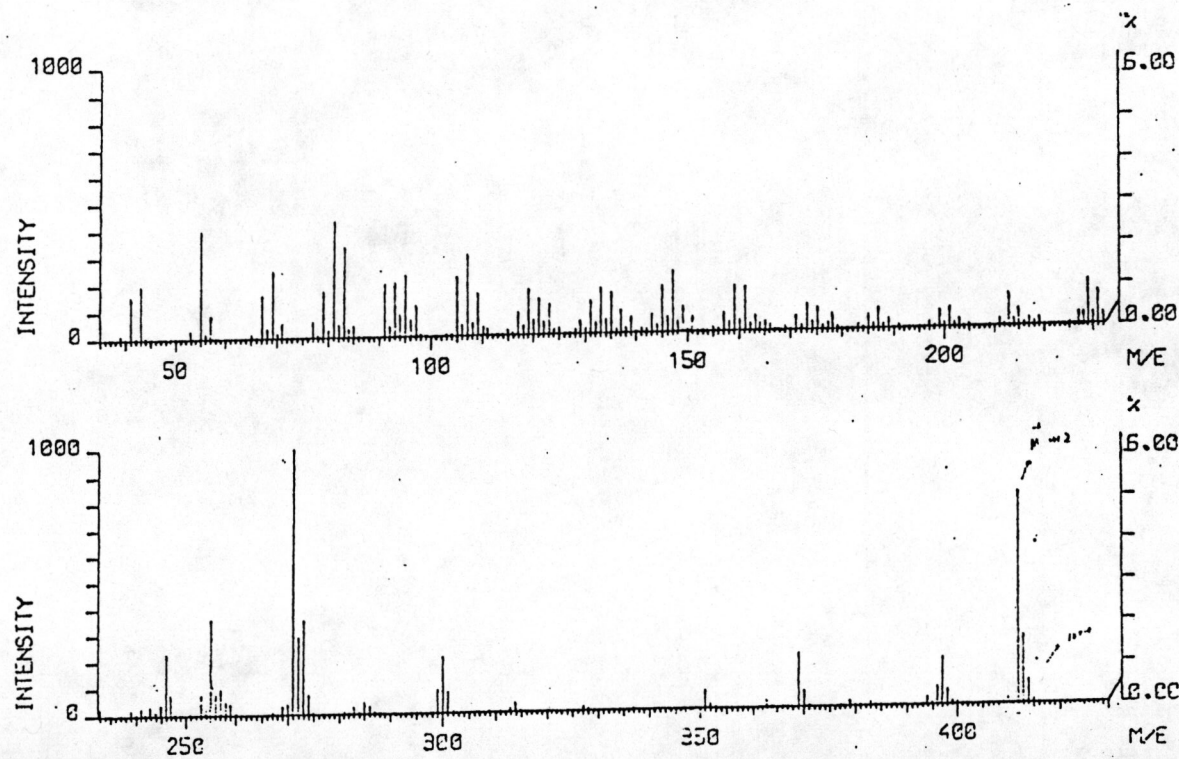
RANGE 2

TEN 2

รูปที่ 23

แสดง gas chromatography สเปกตรัมของสาร 20 ช

MASS SPECTRUM : (24 TO 27)  
SAMPLE: 20. 22 JAN 88.  
NOTE : 240/4.EI, 70V, 300UA, CHAMB.TEMP.150.  
BASE PEAK : M/E 211.0 INT. 581.8



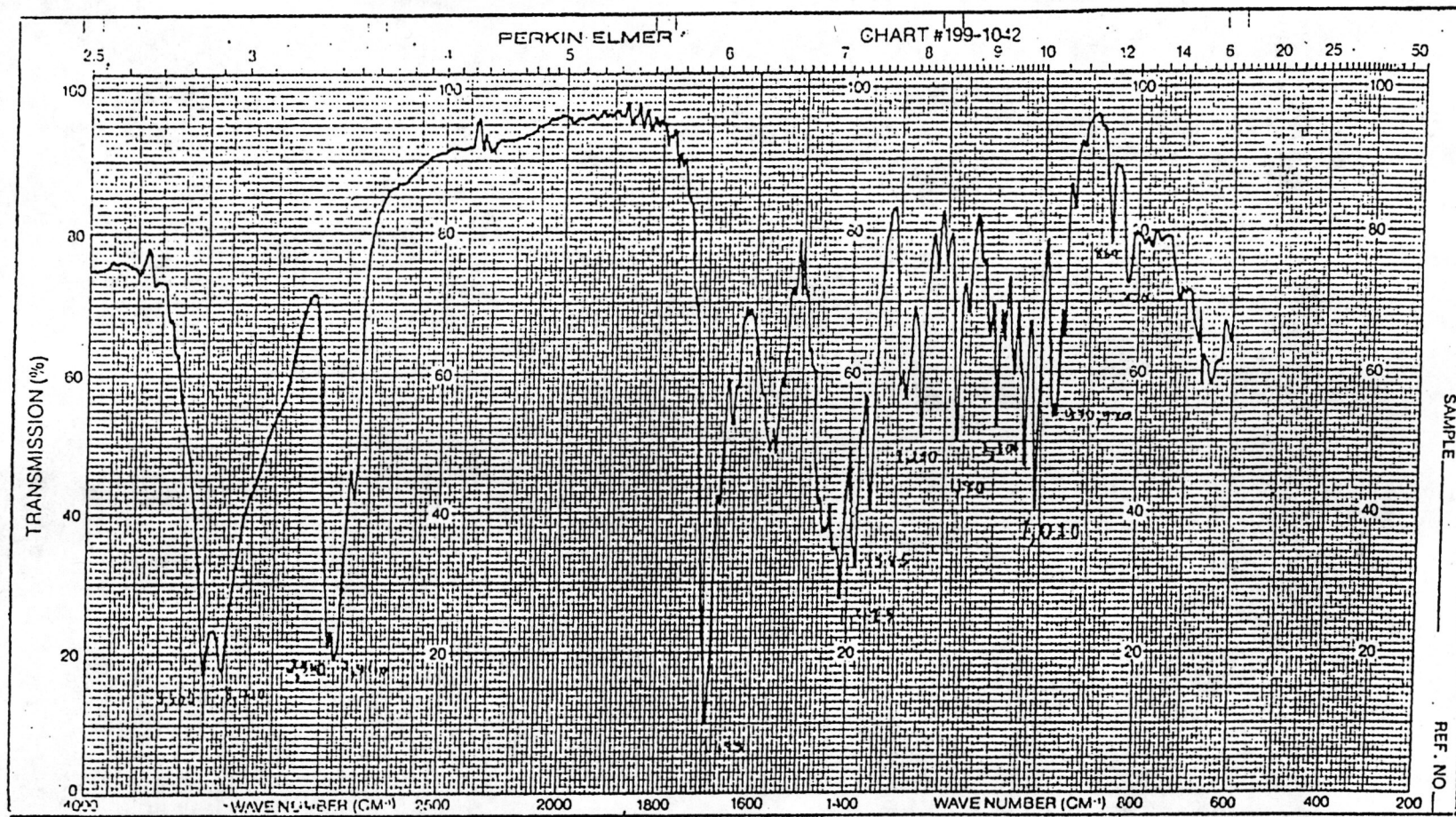
รูปที่ 24 แมสสเปกตรัมของสาร 20 ช คาดว่าเป็น  $\alpha$ -spinasterol

MASS SPECTRUM : (24 TO 21)  
 SAMPLE: 20, 22 JAN 88.  
 NOTE : 240/4.EI, 70V, 300UA, CHAMB, TEMANDE. : 240/4.EI, 70V, 300UA, CHAMB, TEMP. 150.  
 BASE PEAK . M/E 211.0 INT. 581.8 BASE PEAK . M/E 211.0 INT. 581.8

M/E	RAW INT.	R. INT.	SIGMA(%)
41.0	91.6	157.4	1.97
43.0	114.7	197.1	2.46
55.0	232.7	400.1	5.01
67.0	51.8	157.9	1.97
69.0	144.5	248.5	3.11
79.0	122.0	171.8	2.15
81.0	251.2	431.8	5.40
83.0	195.0	335.2	4.19
91.0	117.0	201.1	2.51
93.0	117.4	201.0	2.52
95.0	152.0	228.2	2.85
97.0	57.5	116.0	1.45
105.0	127.0	218.4	2.73
107.0	174.6	300.2	3.76
109.0	21.2	156.8	1.96
119.0	24.8	169.0	2.12
121.0	24.7	135.3	1.69
123.0	52.4	112.4	1.40
131.0	2.8	121.0	1.52
133.0	33.4	171.0	2.14
135.0	23.2	153.4	1.92
145.0	101.6	174.7	2.10
147.0	153.1	228.8	2.06
153.0	2.5	169.3	2.12
161.0	26.0	165.0	2.06
213.0	2.1	125.6	1.57
229.0	2.3	169.0	2.11
231.0	124.2	124.1	1.55
246.0	125.6	228.0	2.85
255.0	226.8	358.0	4.49
271.0	161.0	1000.0	12.52
272.0	153.4	283.9	5.52
273.0	225.0	354.1	4.43
300.0	12.0	203.5	2.62

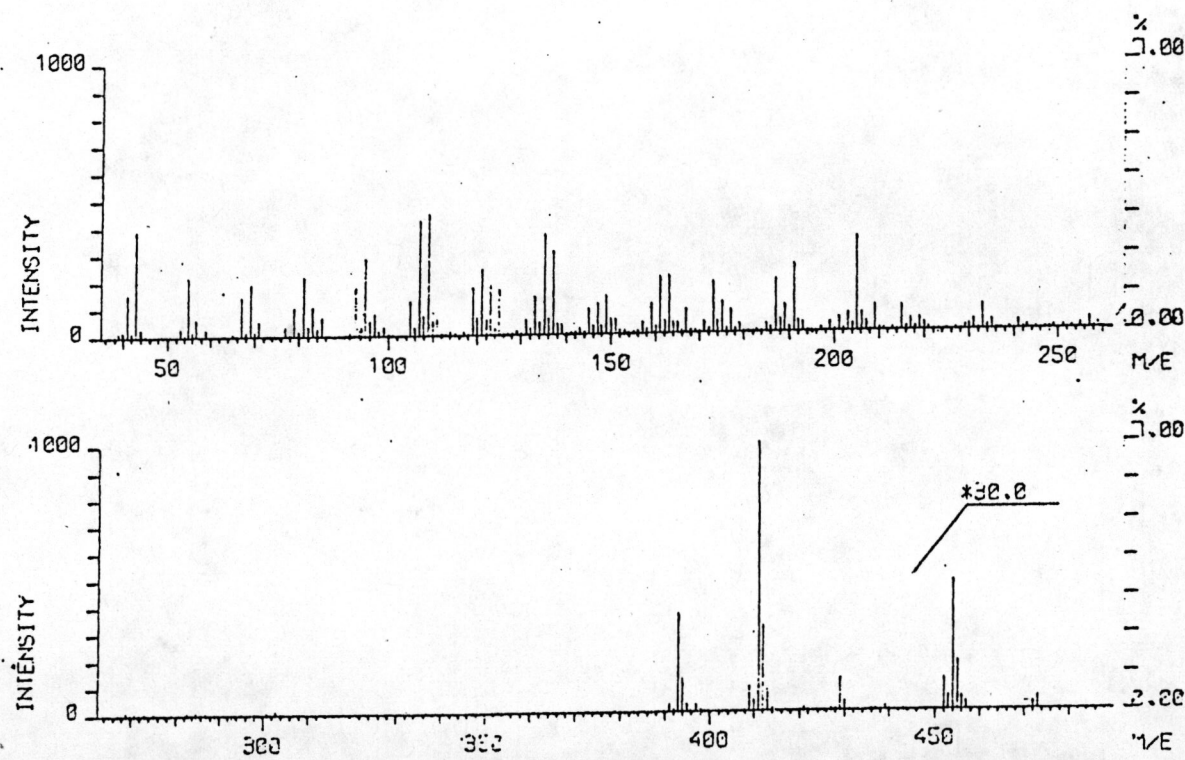
MASS SPECTRUM : (24 TO 27)  
 SAMPLE: 20, 22 JAN 88.  
 NOTE : 240/4.EI, 70V, 300UA, CHAMB, TEMP. 150.

M/E	RAW INT.	R. INT.	SIGMA(%)
314.0	13.0	32.6	1.62
327.0	13.1	22.5	1.12
351.0	41.2	70.9	3.53
352.0	12.1	20.9	1.04
363.0	20.9	36.0	1.79
369.0	110.1	203.0	10.11
370.0	35.3	60.7	3.02
379.0	14.9	25.7	1.28
394.0	19.4	33.4	1.66
396.0	39.7	68.2	3.40
397.0	103.3	177.6	8.05
398.0	34.9	60.1	2.99
410.0	18.0	32.4	1.51
412.0	463.5	736.6	39.69
413.0	148.9	255.9	12.75
414.0	51.6	.88.0	4.42
415.0	12.0	20.7	1.03



รูปที่ 25 อินฟราเรดสเปกตรัมของสาร 19 ก คาดว่าเป็น triterpenoid

MACS SPECTRUM : (15 TO 17)  
 SAMPLE: 19 M.P. 310. 6 DEC 8°.  
 NOTE : 109/4.EI, 70V, 300UA, CH4:1B, TEMP. 222.  
 BASE PEAK : M/E 411.0 INT. 539.2



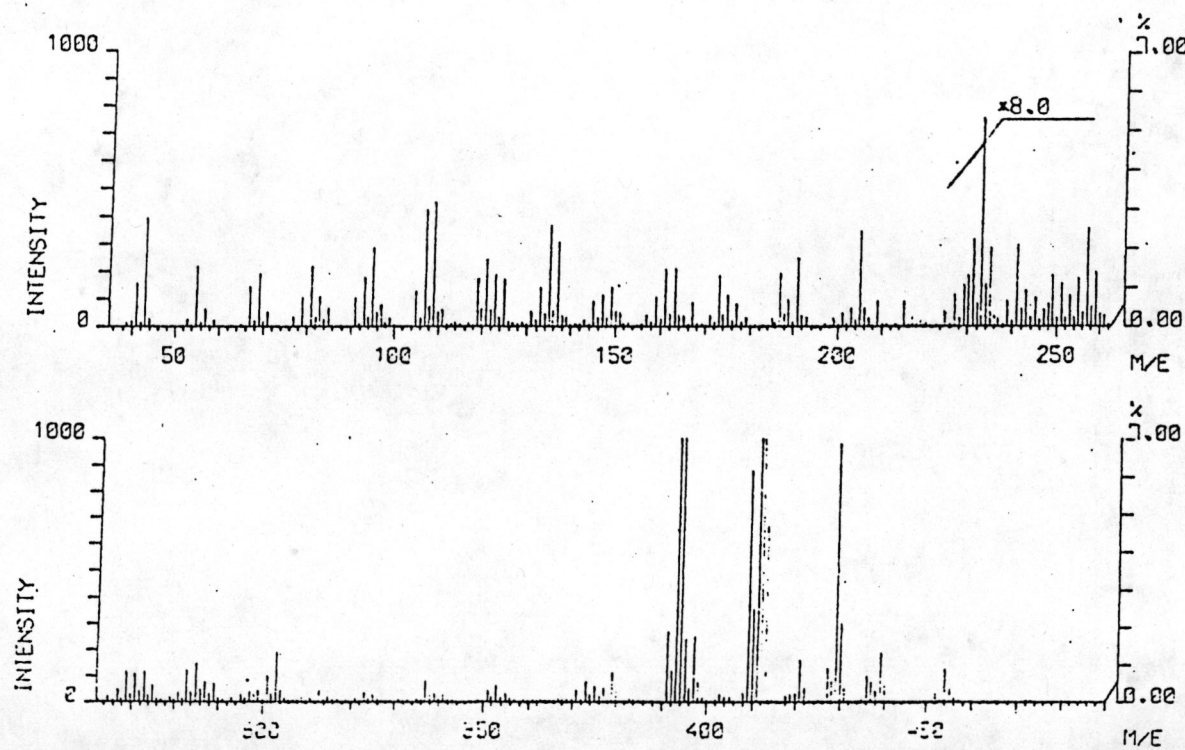
รูปที่ 26 เมสสเปกตรัมของสาร 19 ก คาดว่าเป็น triterpenoid

MASS SPECTRUM : (15 TO 1'')

SAMPLE: 19 M.P. 310. 6 DEC 87.

NOTE .109/4.EI, 70V, 300UA, CHAM6, TEMP. 22

BASE PEAK : M/E 411.0 INT. 539.2



รูปที่ 27 แมสสเปกตรัมของสาร 19 ก คาดว่าเป็น triterpenoid

MASS SPECTRUM : (15 TO 17)  
 SAMPLE: 13 M.P.310, 6 DEC 87.  
 NOTE .109/-, EI, 70V, 300UA, CHAMB, TEMP. 220E.  
 BASE PEAK : M/E 411.0 INT. 539.2

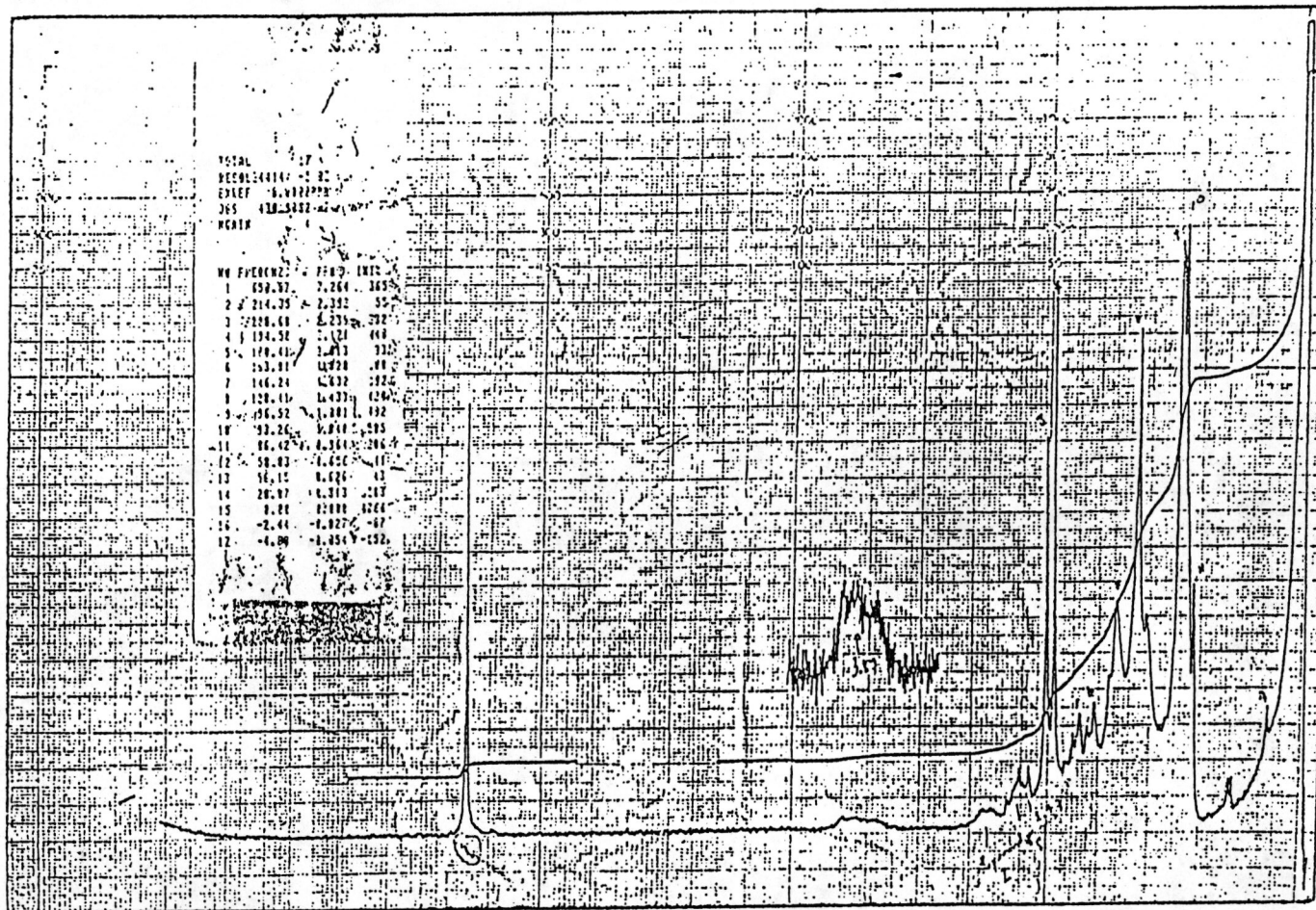
MASS SPECTRUM : (15 TO 17)  
 SAMPLE: 13 M.P.310, 6 DEC 87.  
 NOTE .109/-, EI, 70V, 300UA, CHAMB, TEMP. 220E.  
 BASE PEAK : M/E 411.0 INT. 539.2

MASS SPECTRUM : (15 TO 17)  
 SAMPLE: 13 M.P.310, 6 DEC 87.  
 NOTE .109/-, EI, 70V, 300UA, CHAMB, TEMP. 220E.  
 BASE PEAK : M/E 411.0 INT. 539.2

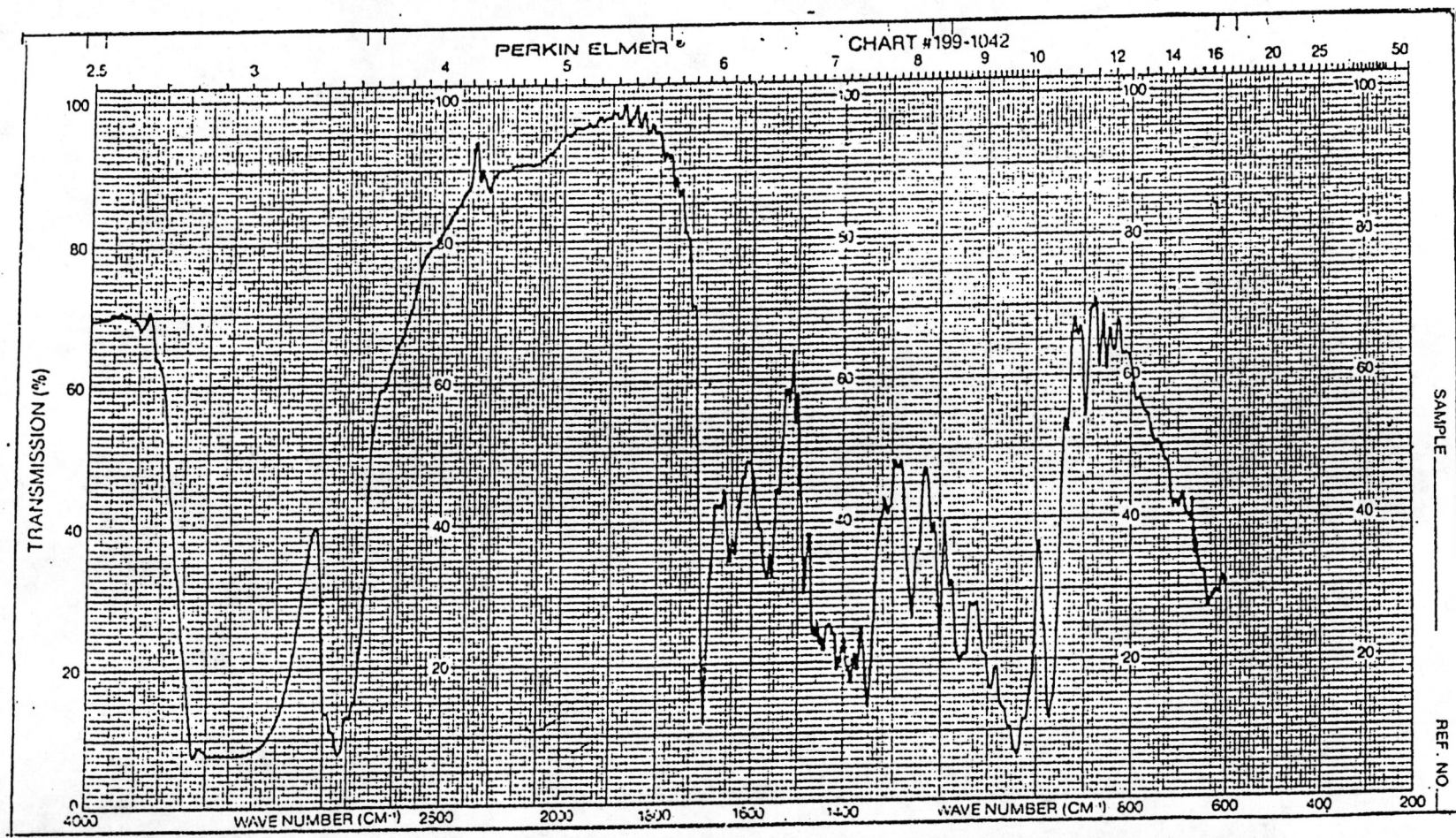
M/E	RAW	INT.	R.	INT.	SIGMA(%)
41.0	84.9	157.4	2.21		
43.0	211.2	393.5	5.53		
55.0	115.1	219.1	3.08		
67.0	72.3	145.2	2.04		
69.0	105.9	132.7	2.70		
79.0	55.0	127.7	1.51		
81.0	115.4	219.5	3.08		
83.0	65.0	129.4	1.53		
91.0	127.0	127.0	1.50		
93.0	179.3	179.3	2.52		
95.0	155.5	288.4	4.05		
105.0	167.0	131.7	1.85		
107.0	225.7	426.0	5.98		
109.0	245.1	450.9	6.33		
119.0	177.7	177.7	2.49		
121.0	195.7	246.1	3.45		
123.0	185.0	190.7	2.68		
125.0	171.3	171.3	2.40		
133.0	139.1	139.1	1.95		
135.0	155.9	359.0	5.18		
137.0	165.1	309.9	4.35		
145.0	55.0	96.4	1.35		
147.0	55.0	116.5	1.63		
149.0	55.4	143.6	2.01		
159.0	55.3	110.1	1.54		
161.0	115.5	208.7	2.93		
163.0	115.3	212.1	2.98		
173.0	125.7	188.6	2.65		
175.0	62.6	116.1	1.63		
187.0	105.4	197.4	2.77		
189.0	55.1	100.4	1.41		
191.0	135.7	251.7	3.53		
205.0	185.5	351.4	4.93		
209.0	65.4	97.2	1.36		
215.0	55.7	97.7	1.37		
233.0	55.9	94.5	1.32	END	

M/E	RAW	INT.	R.	INT.	SIGMA(%)
241.0	20.2	37.5	1.46		
249.0	12.5	23.3	0.98		
251.0	10.5	19.8	0.77		
255.0	11.9	22.1	0.86		
257.0	24.2	45.0	1.75		
259.0	13.4	25.0	0.97		
285.0	10.0	18.6	0.72		
303.0	12.8	23.8	0.93		
391.0	18.2	33.8	1.31		
393.0	197.2	365.8	14.26		
394.0	67.6	125.4	4.89		
395.0	16.3	30.3	1.18		
397.0	16.8	31.2	1.21		
409.0	59.0	109.5	4.27		
410.0	24.1	44.8	1.74		
411.0	539.2	1000.0	38.99		
412.0	172.0	320.5	12.49		
413.0	45.1	83.6	3.26		
421.0	10.9	20.2	0.79		
429.0	65.9	122.3	4.76		
430.0	20.4	37.8	1.47		
439.0	12.6	23.5	0.91	END	

M/E	RAW	INT.	R.	INT.	SIGMA(%)
452.0	0.3	14.3	12.30		
453.0	1.1	12.0	5.91		
454.0	5.7	15.1	45.58		
455.0	3.3	5.2	17.73		
456.0	1.1	2.1	5.07		
457.0	2.6	1.1	3.35		
472.0	2.7	1.3	3.83		
473.0	2.9	1.8	5.11	END	

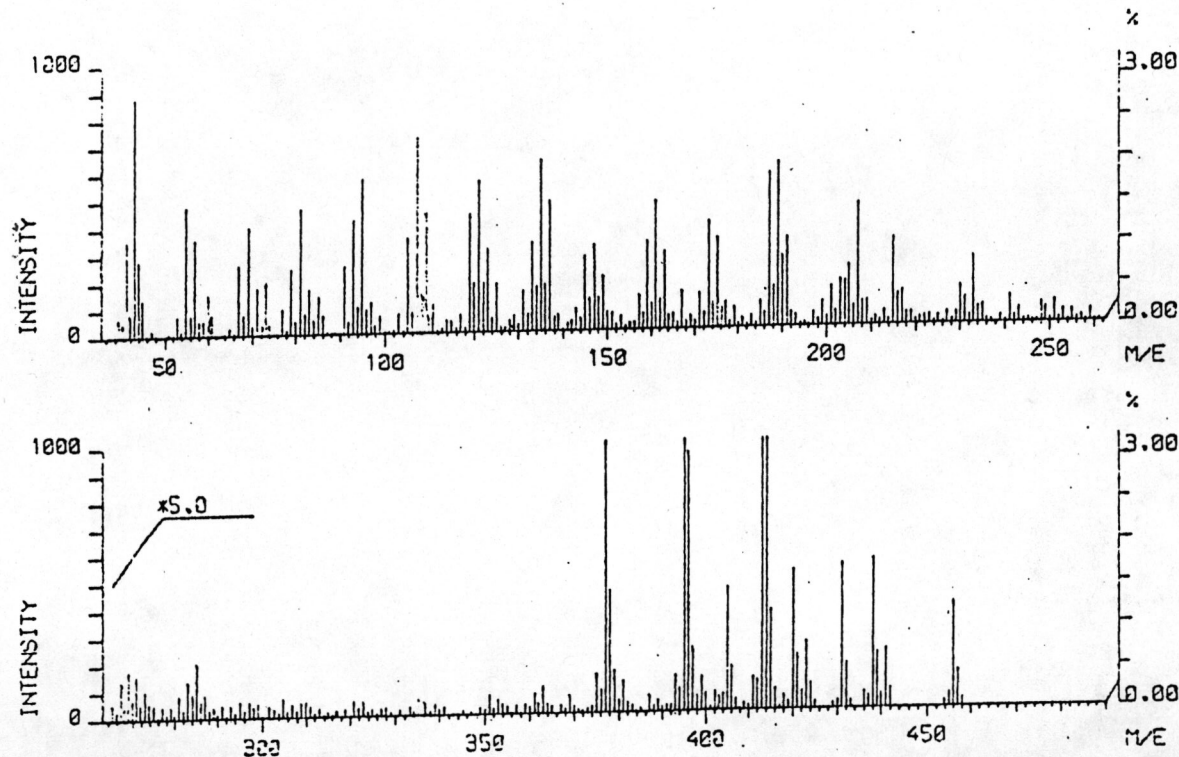


รูปที่ 28 แสดงนิวเคลียร์แมกเนติกเรโซโนนنسสเปกตรัมของ 19 ก คาดว่าเป็น  
triterpenoid



รูปที่ 29 แสดงอินฟราเรคสเปกตรัมของสาร 60 g ภาคว่าเป็น glycoside

MASS SPECTRUM . (12 TC '5)  
 SAMPLE . 60 . C.P. 276.  
 NOTE . 78/4 . EI, 70V, 3220A, CHAMG, TEMP. 240.  
 BASE PEAK . M/E 413.2 INT. 125.5



รูปที่ 30 เมสสเปกตรัมของสาร 60 g คาดว่าเป็น glycoside

MASS SPECTRUM (12 TO 15)

SAMPLE.50 ,M.P.216.

NOTE .78/4. E1,70V,300UA,CHAMB,TEMP.200F

BASE PEAK . M/E 413.0 INT. 125.6

MASS SPECTRUM (12 TO 15)

SAMPLE.50 ,M.P.216.

NOTE .78/4. E1,70V,300UA,CHAMB,TEMP.242

BASE PEAK . M/E 413.0 INT. 126.6

MASS SPECTRUM (12 TO 15)

SAMPLE.50 ,M.P.216.

NOTE .78/4. E1,70V,300UA,CHAMB,TEMP.242

BASE PEAK . M/E 413.0 INT. 126.6

M/E RAW INT. R.INT. SIGMA(%)

41.0	45.1	355.5	2.41
43.0	111.7	885.5	5.98
44.0	35.2	218.5	1.08
55.0	60.3	475.5	3.23
57.0	45.2	357.5	2.42
61.0	33.1	261.4	1.77
69.0	58.0	401.5	2.72
79.0	36.5	241.2	1.63
81.0	58.8	454.3	3.14
91.0	32.7	258.5	1.75
93.0	53.3	421.4	2.05
95.0	72.4	512.2	3.00
105.0	43.1	355.5	2.42
107.0	91.8	725.3	4.92
109.0	57.0	452.7	3.07
119.0	56.1	443.5	3.00
121.0	71.1	561.4	3.00
123.0	39.5	312.8	2.11
133.0	41.8	350.5	2.24
135.0	80.4	635.1	4.30
137.0	61.0	482.1	3.27
145.0	35.6	281.2	1.90
147.0	40.2	317.0	2.15
159.0	41.5	327.7	2.22
161.0	60.4	477.3	3.23
163.0	36.5	288.5	1.95
173.0	50.3	397.5	2.69
175.0	42.4	334.9	2.27
187.0	72.4	572.0	3.98
189.0	77.5	612.0	4.15
190.0	33.0	265.9	1.01
191.0	42.3	334.4	2.26
205.0	28.9	229.1	1.54
207.0	57.4	456.3	3.09
215.0	40.0	322.4	2.10
233.0	31.7	250.6	1.70

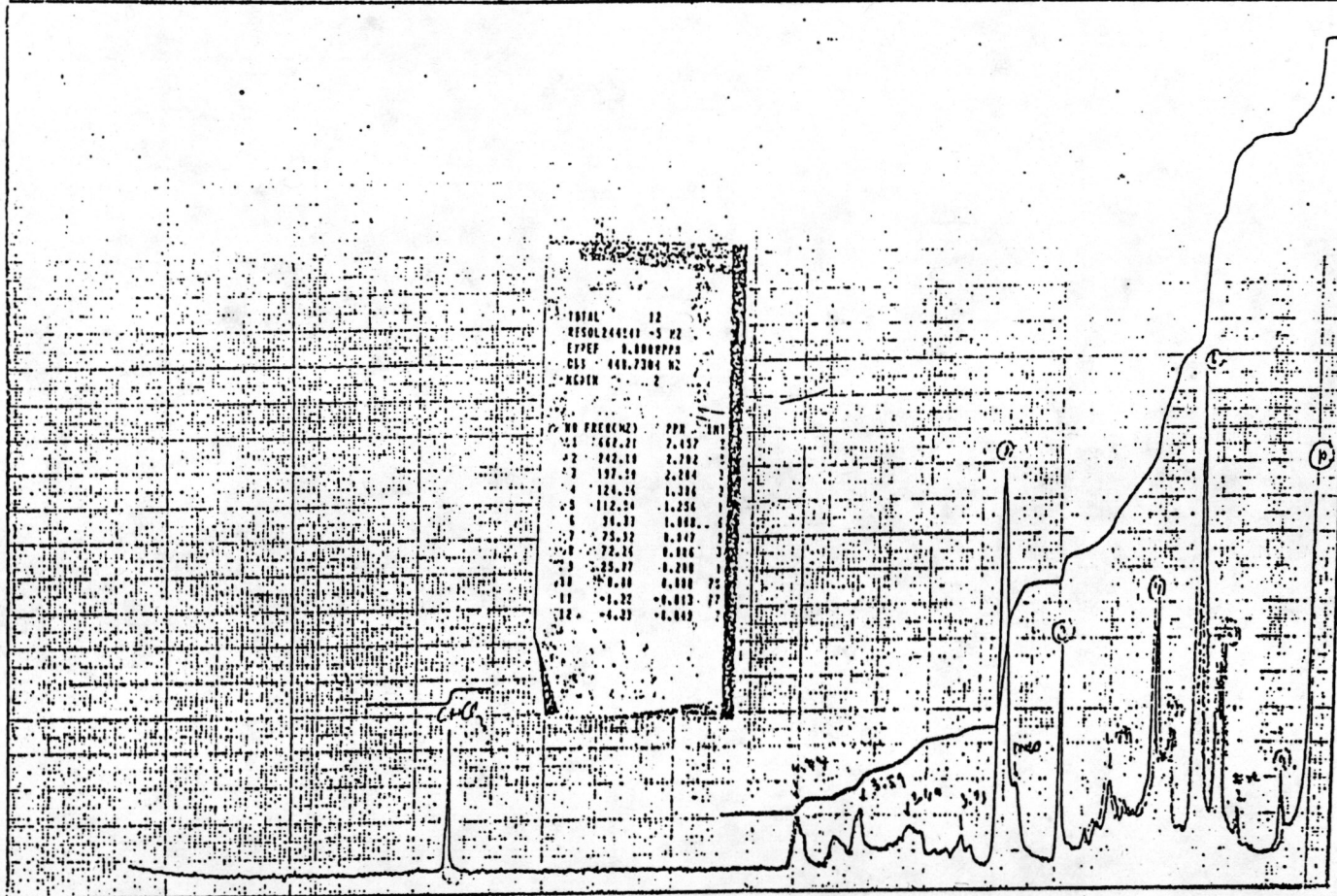
M/E RAW INT. R.INT. SIGMA(%)

241.0	13.2	34.5	3.17
243.0	7.1	18.7	1.78
248.0	9.5	15.5	2.29
249.0	7.5	19.2	1.79
251.0	11.1	37.9	2.66
255.0	6.2	49.1	1.49
259.0	6.5	51.0	1.57
317.0	32.5	255.6	7.77
378.0	11.4	30.5	2.74
395.0	74.4	327.7	17.01
396.0	24.1	30.6	5.77
397.0	5.9	47.2	1.43
405.0	11.5	31.5	2.77
413.0	126.6	1220.0	30.31
414.0	40.4	319.5	9.68
415.0	9.4	14.4	2.25
420.0	13.0	32.0	3.11
423.0	6.3	30.3	1.52

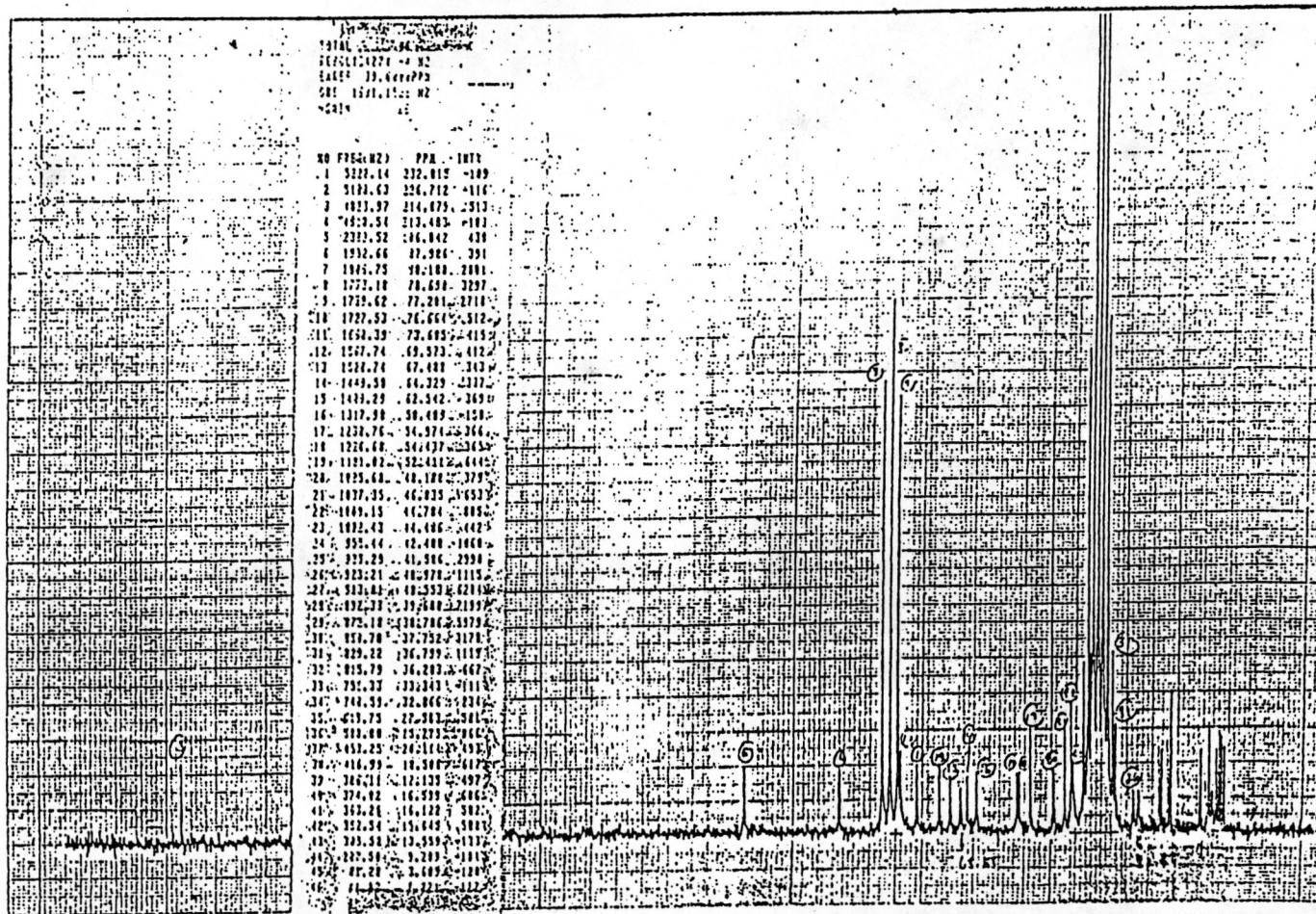
M/E RAW INT. R.INT. SIGMA(%)

430.0	8.9	7.4	1.41
431.0	13.5	107.2	23.36
432.0	4.3	34.2	5.49
435.0	1.6	12.7	2.42
437.0	1.2	9.8	1.07
438.0	14.9	110.6	21.00
439.0	5.2	41.6	7.91
440.0	1.4	11.8	2.24
441.0	5.5	43.8	3.32
442.0	1.8	14.9	2.03
454.0	0.9	7.7	1.46
455.0	1.9	10.6	2.01
456.0	9.8	78.0	14.02
457.0	3.5	28.1	5.35
458.0	0.9	7.4	1.41

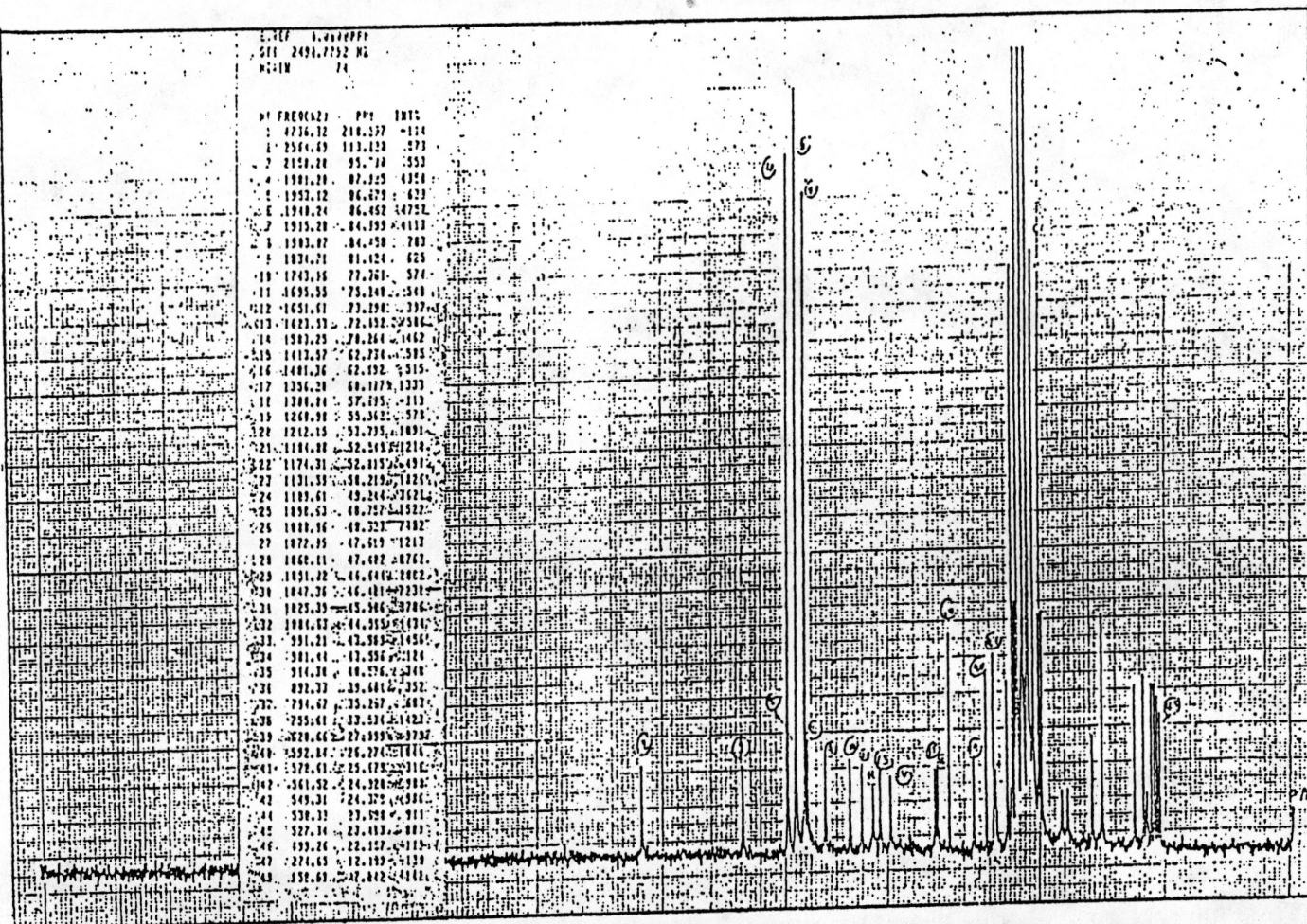
ตารางที่ 19 ข้อมูลแสดงแมสสเปกตรัมของสาร 60 g คาดว่าเป็น glycoside



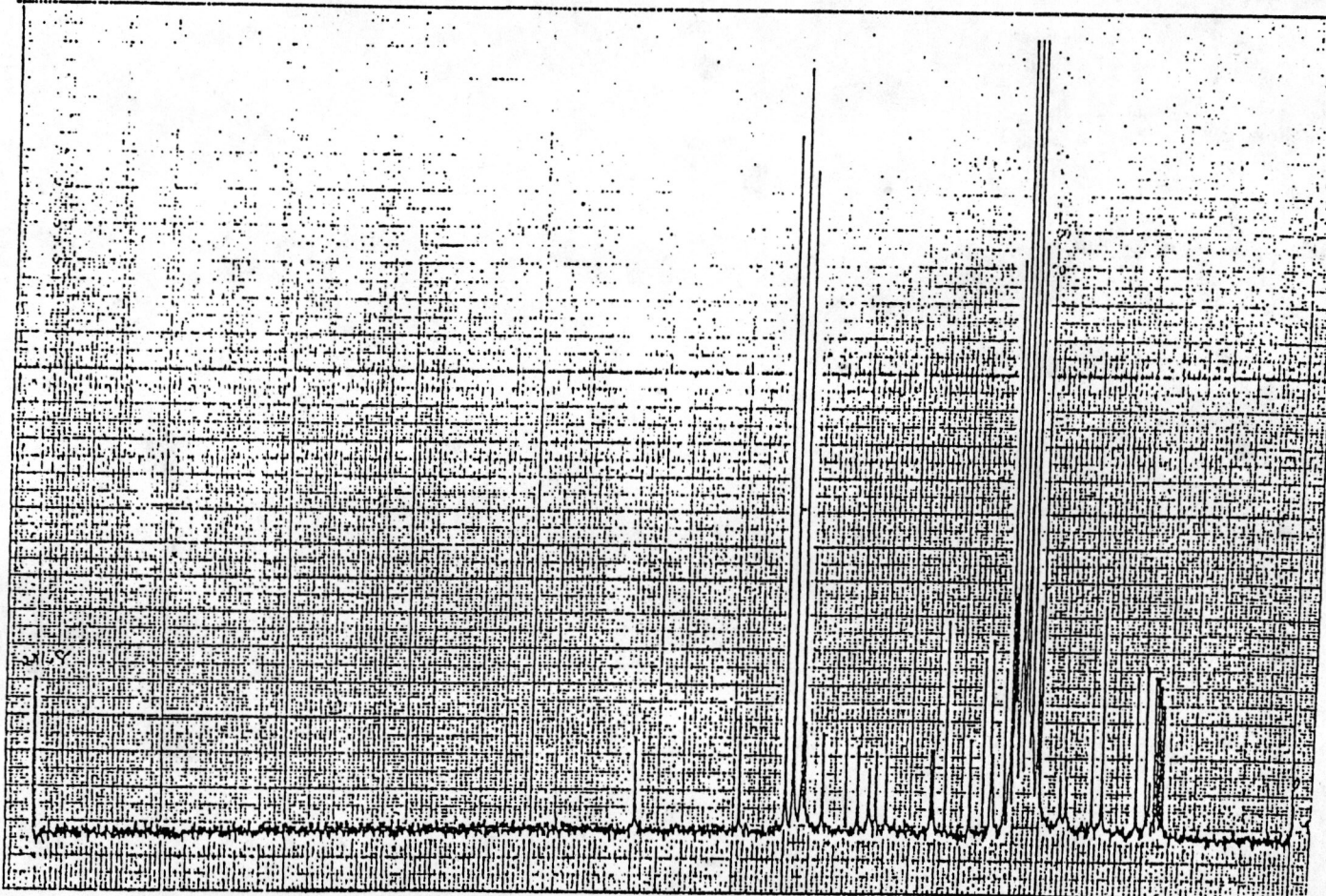
รูปที่ 31 นิวเคลียร์แมกเนติกเรโซแนนซ์สเปกตรัมของสาร 60 ก คาดว่า  
เป็น glycoside



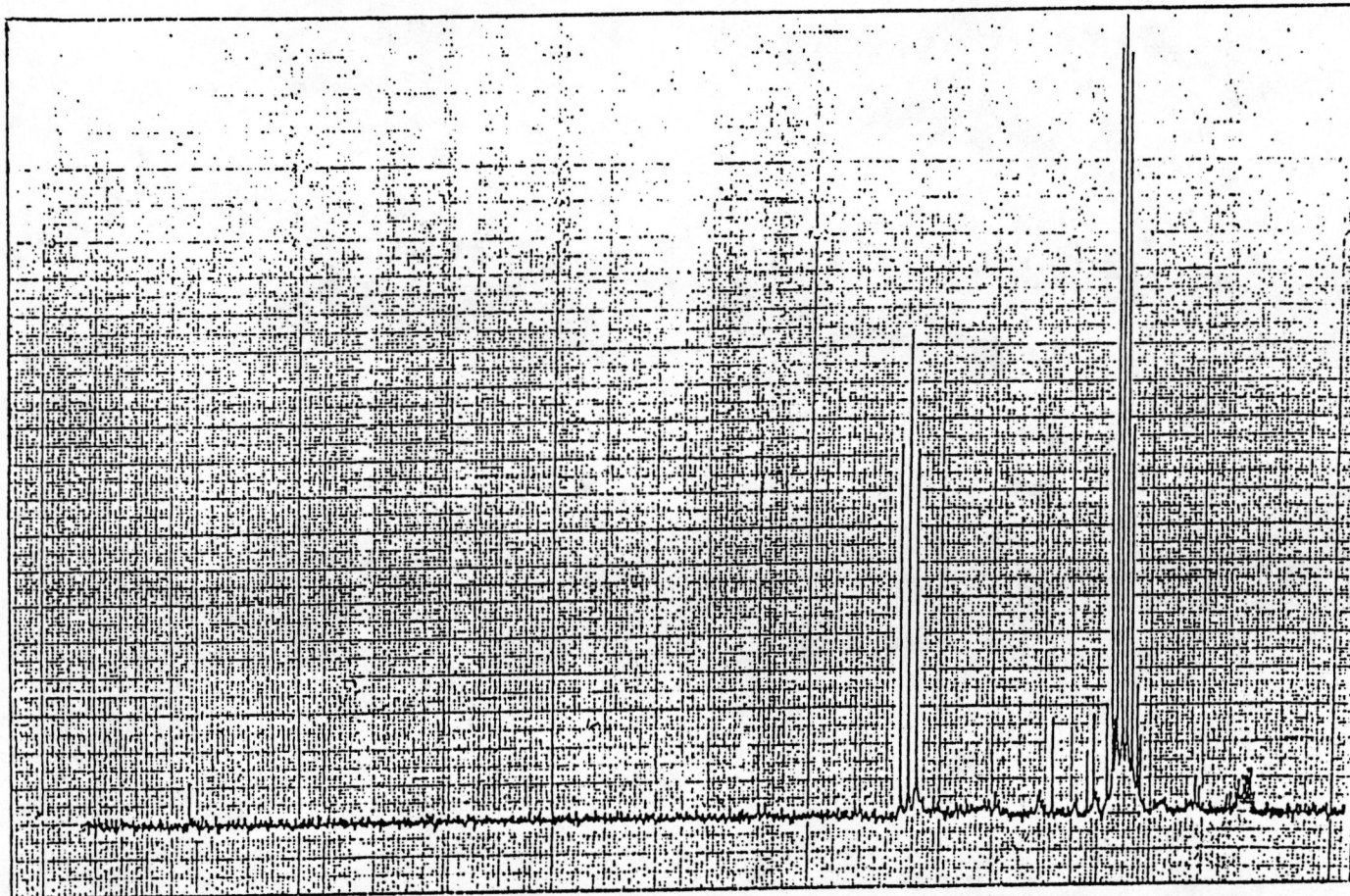
รูปที่ 32 การบอน 13 นิวเคลียร์แมกเนติกเรโซแนชน์สเปกตรัมของสาร 60 ก  
คาดavaเบน glycoside



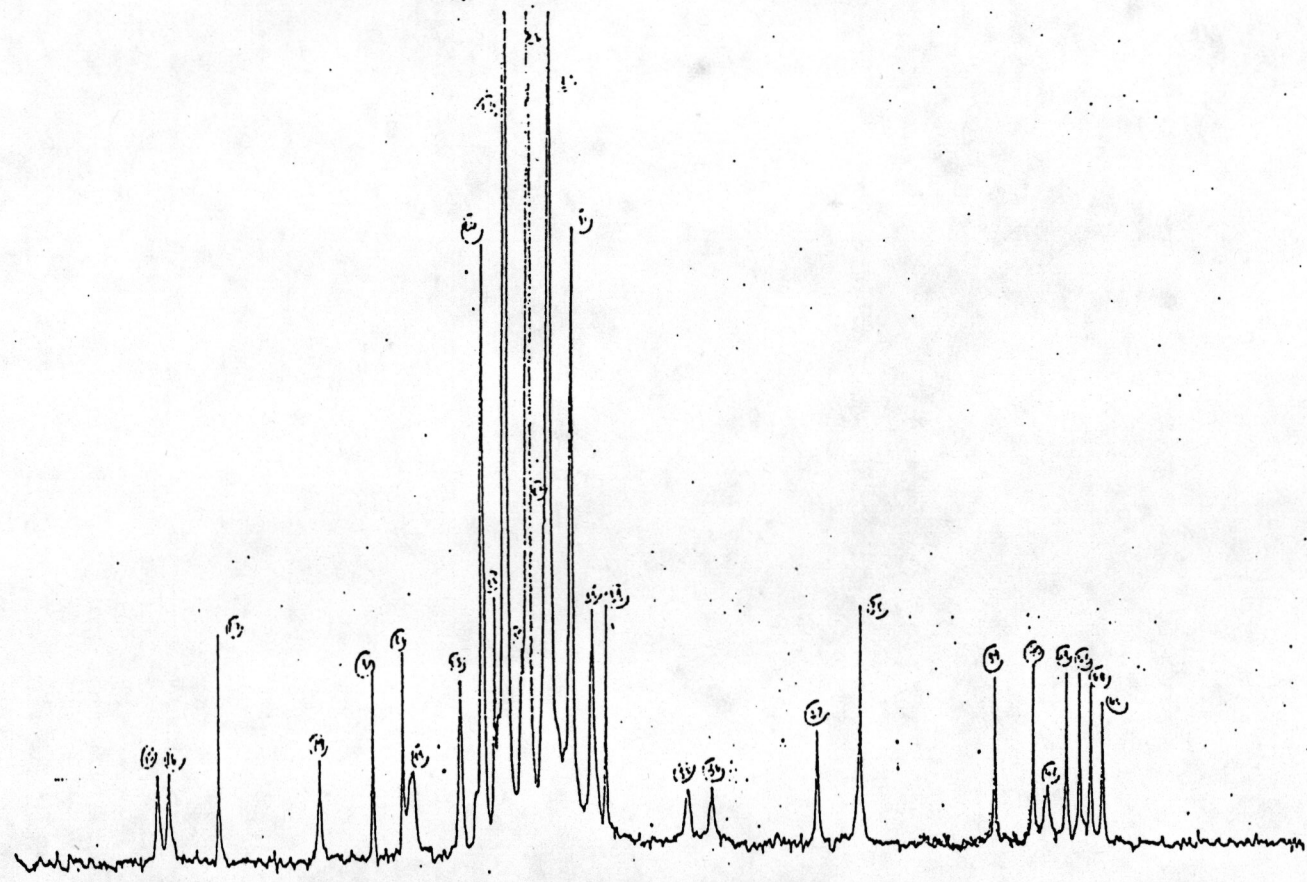
รูปที่ 33 การบอน-13 นิวเคลียร์แมกเนติกเรโซแนชน์สเปกตรัมของสาร  
60 ก. คาดava เป็น glycoside



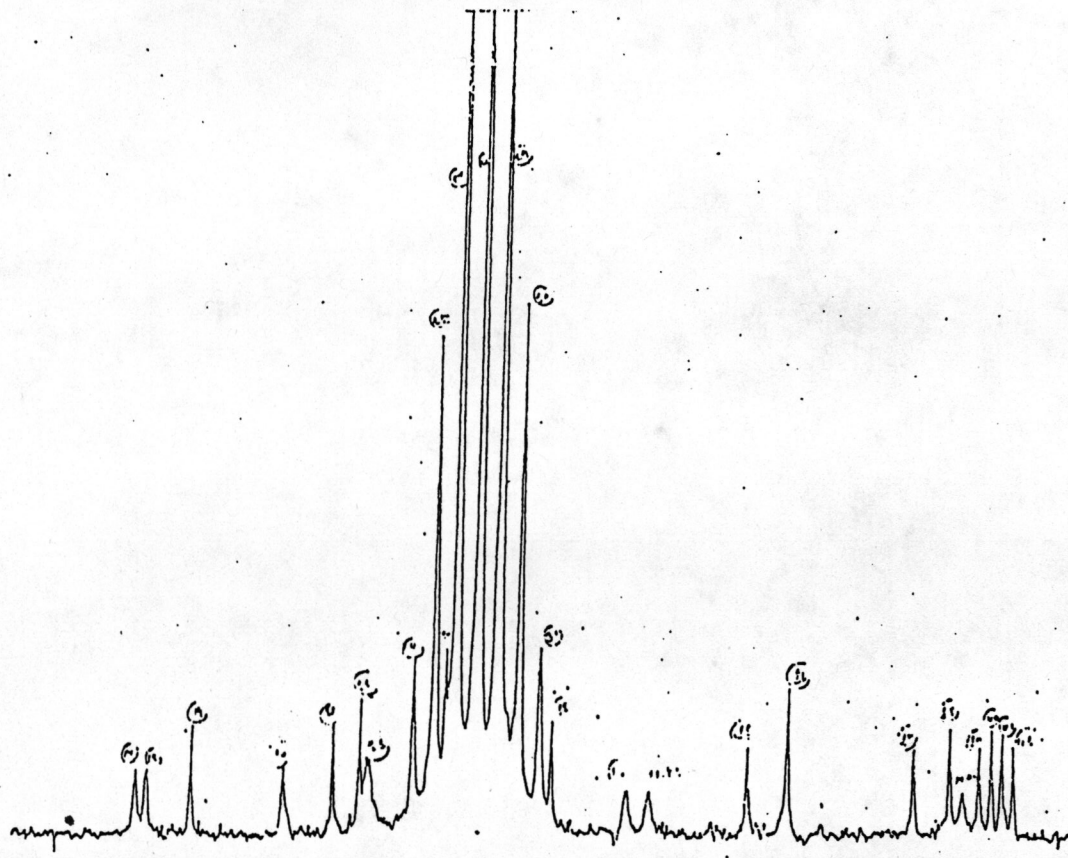
รูปที่ 34 การน่อน -13 นิวเคลียร์แมกเนติกเรโซแนนซ์สเปกตรัมของสาร  
60 ก คาดว่าเป็น glycoside



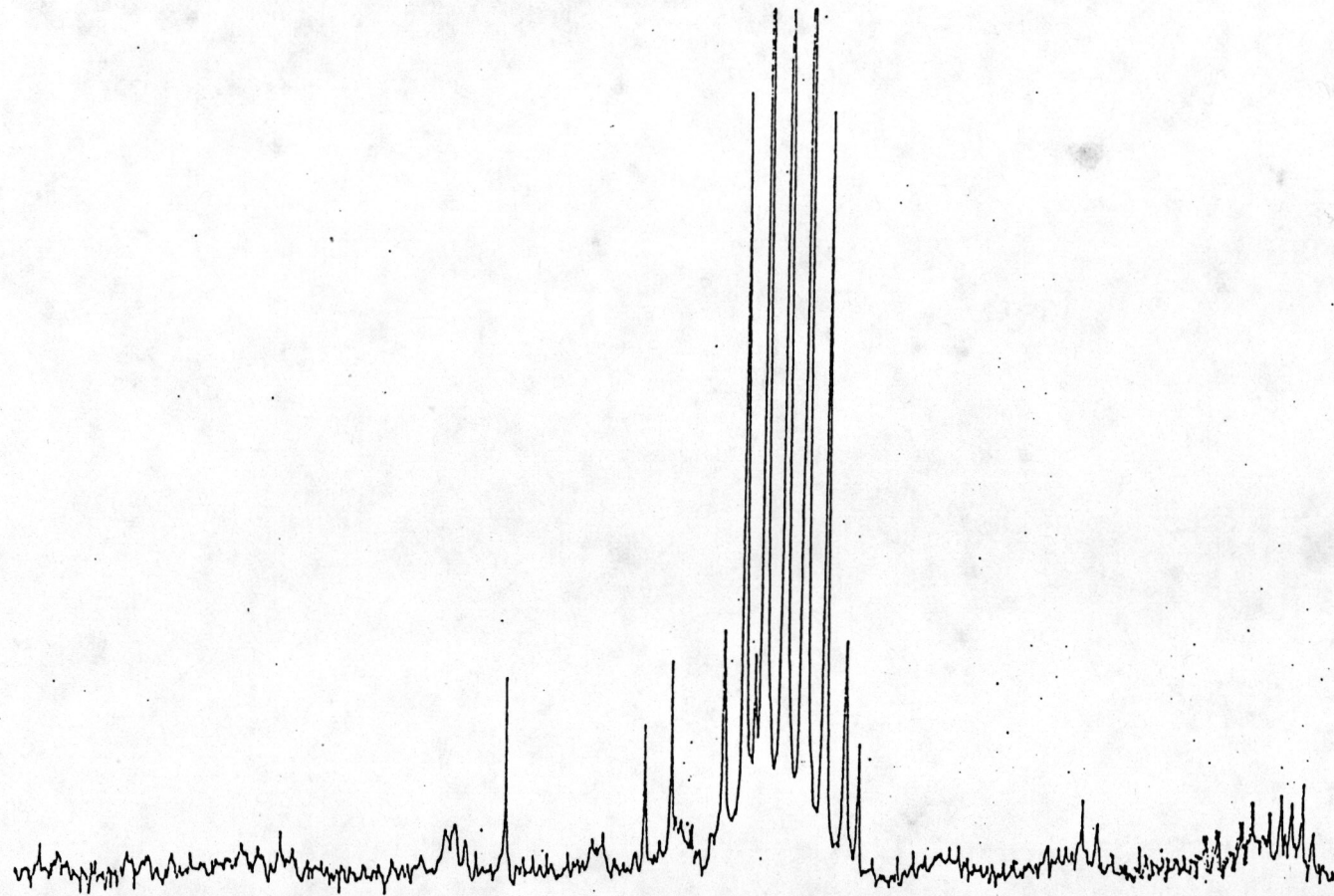
รูปที่ 35 การบันทุก -13 นิวเคลียร์แมกเนติกเรโซนแนนซ์สเปกตรัมของสาร  
60 ก คาดว่าเป็น glycoside



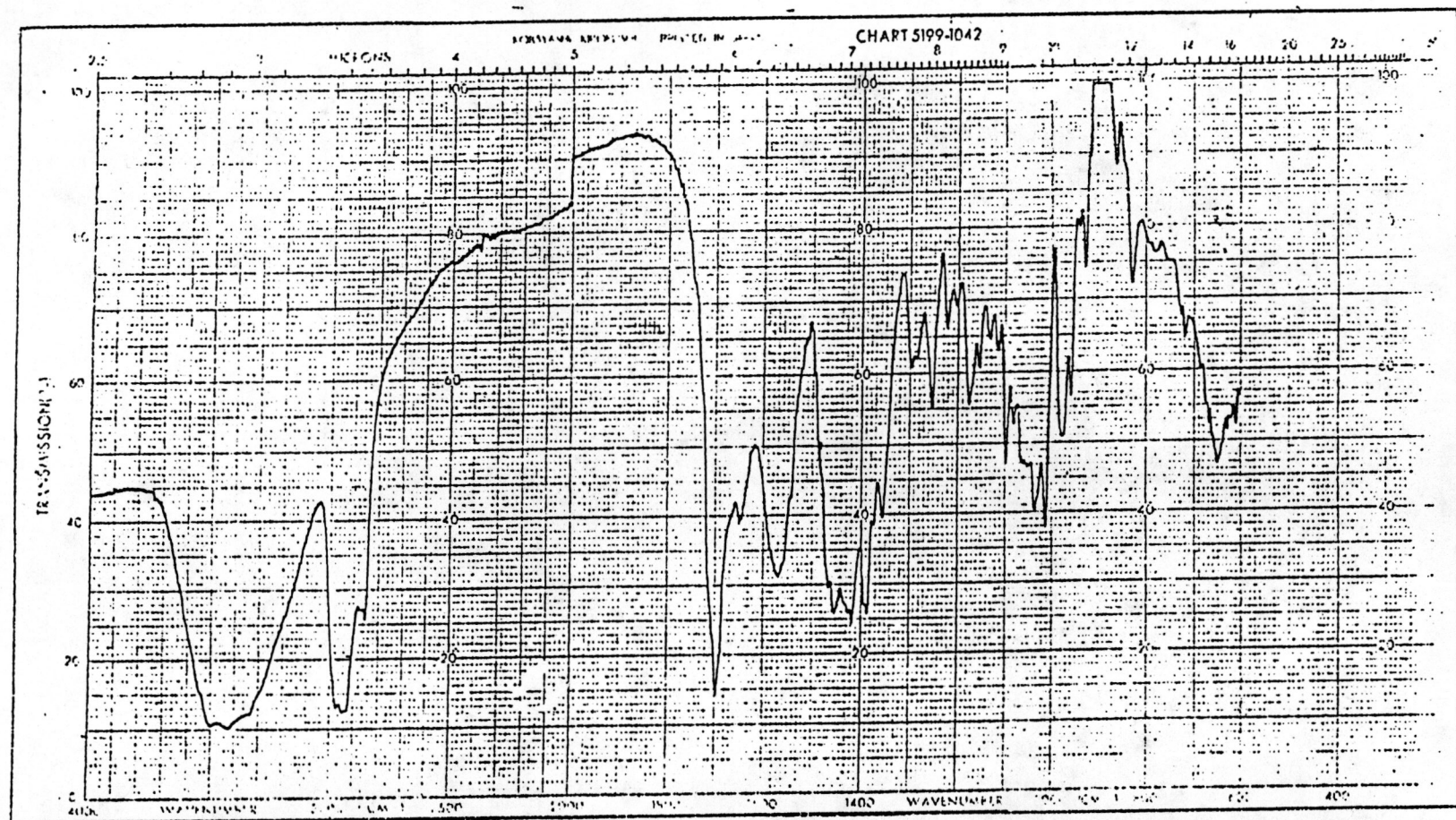
รูปที่ 36 การนับอน-13 นิวเคลียร์แมกเนติกเรโซแนชน์สเปกตรัมของสาร 60 ก  
คากาวาเป็น glycoside



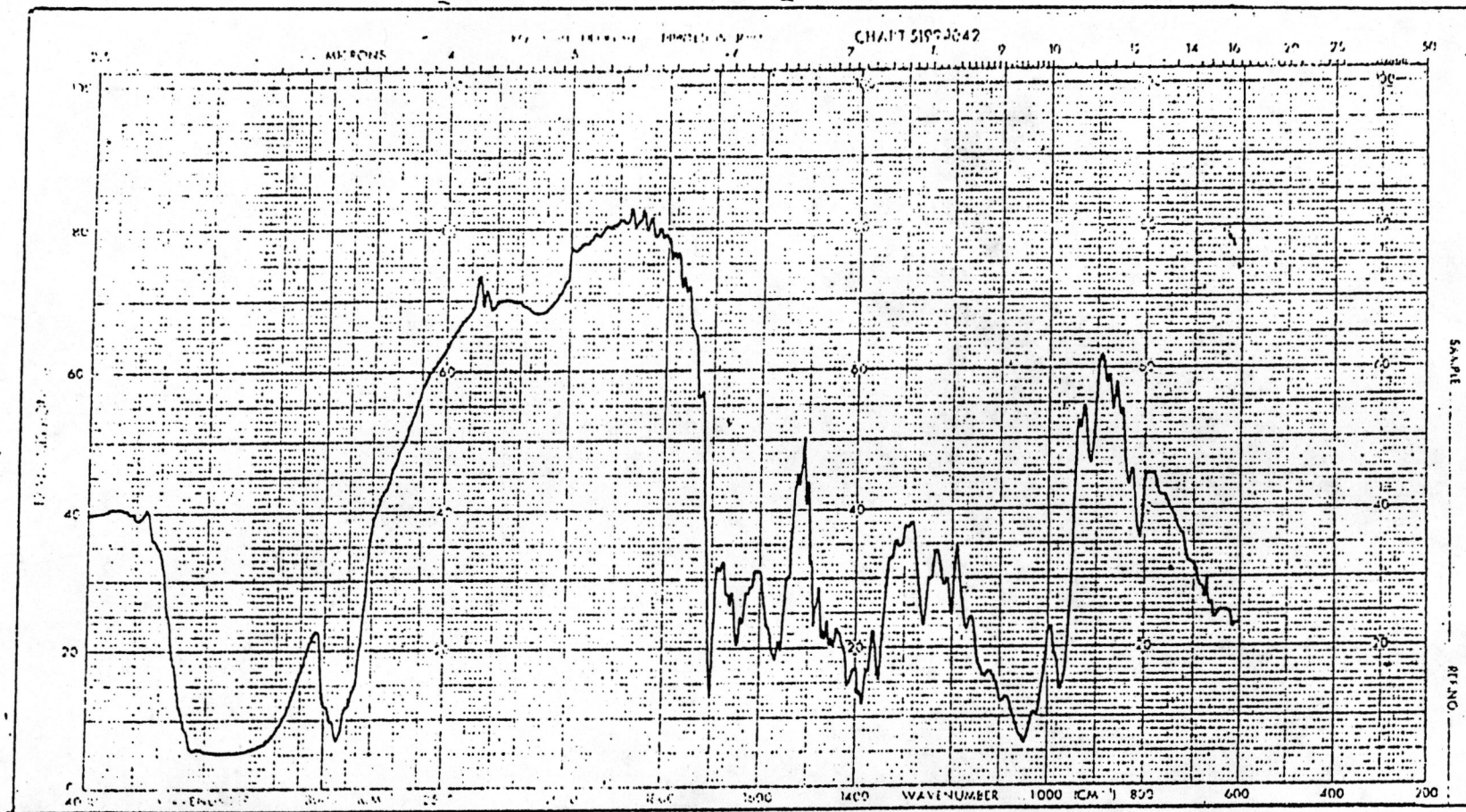
รูปที่ 37 การนับอน -13 นิวเคลียร์แมกเนติกเรโซแนชน์สเปกตรัมของสาร  
60 ก ภาควาเป็น glycoside



รูปที่ 38 การบอน -13 นิวเคลียร์แมกเนติกเรโซแนนซ์สเปกตรัมของสาร 60 ก  
ภาคว่าเป็น glycoside



รูปที่ 39 อินฟราเรดสเปกตรัมของ 44 น



รูปที่ 40 แสดงอินฟราเรคสเปกตรัมของ 84 บ